

Laboratorio di Fisica Atomica CdL Fisica e Astrofisica

Prof. Nicola Poli

Dip. Fisica ed Astronomia (115)

nicola.poli@unifi.it

055 457 2038

Rifrazione – Riflessione - Polarizzazione

- Testi/articoli di riferimento:

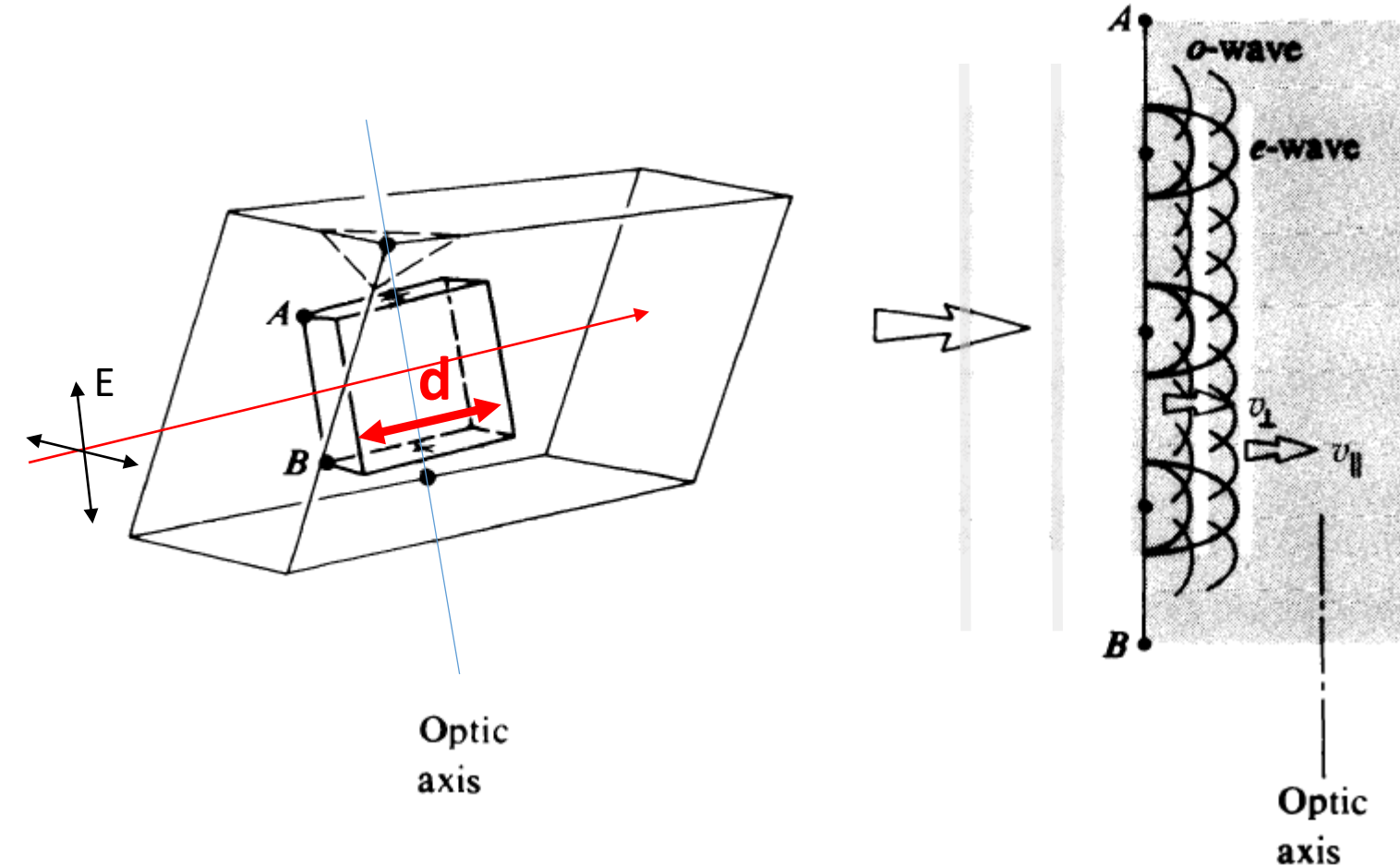
- E. Hecht «Optics»

- G. R. Fowles “Introduction to modern optics”

- R.D. Guenther «Modern Optics»

Lamine di ritardo

- idea: far acquisire una fase aggiuntiva ad una componente \mathcal{P} rispetto all'altra



$$\Lambda = d(|n_o - n_e|)$$

$$\Delta\varphi = k_0\Lambda$$

$$\Delta\varphi = \frac{2\pi}{\lambda_0} d(|n_o - n_e|)$$

$$v_{\parallel} > v_{\perp} \quad n_o > n_e$$

Lamine di ritardo

$$\Delta\varphi = \frac{2\pi}{\lambda_0} d(|n_o - n_e|)$$

$$\Lambda = d(|n_o - n_e|)$$

- | | | |
|----------------------|---------|-------------|
| • lamina λ | 2π | λ |
| • lamina $\lambda/2$ | π | $\lambda/2$ |
| • lamina $\lambda/4$ | $\pi/2$ | $\lambda/4$ |

Lamine di ritardo

$$\Lambda = d(|n_o - n_e|)$$

$$\Delta\varphi = \frac{2\pi}{\lambda_0} d(|n_o - n_e|)$$

€€€

- **true-zero order** Lamina di spessore minimo
difficile costruzione, fragile

Minore dipendenza da angolo di incidenza,
temperatura, lunghezza d'onda

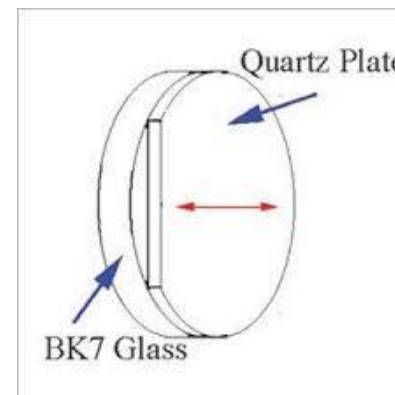
€

- **multi-order** facile costruzione, non fragile

Maggiore dipendenza da angolo di incidenza,
temperatura, lunghezza d'onda

€€

- **(cemented) zero-order**



Quarzo

$$\Delta n = 9.2 \times 10^{-3} \text{ (550nm)}$$

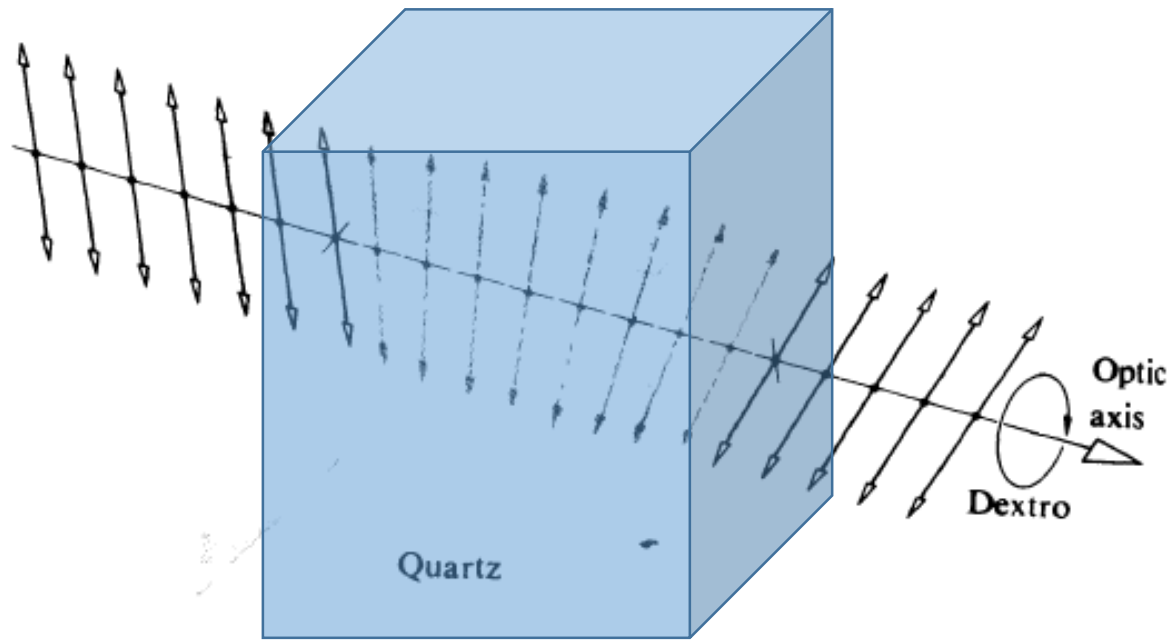
$$\Delta\phi = \pi/2$$

$$d = 15 \mu\text{m} !!$$

$$\Delta\phi_M = \Delta\phi + 2m\pi$$

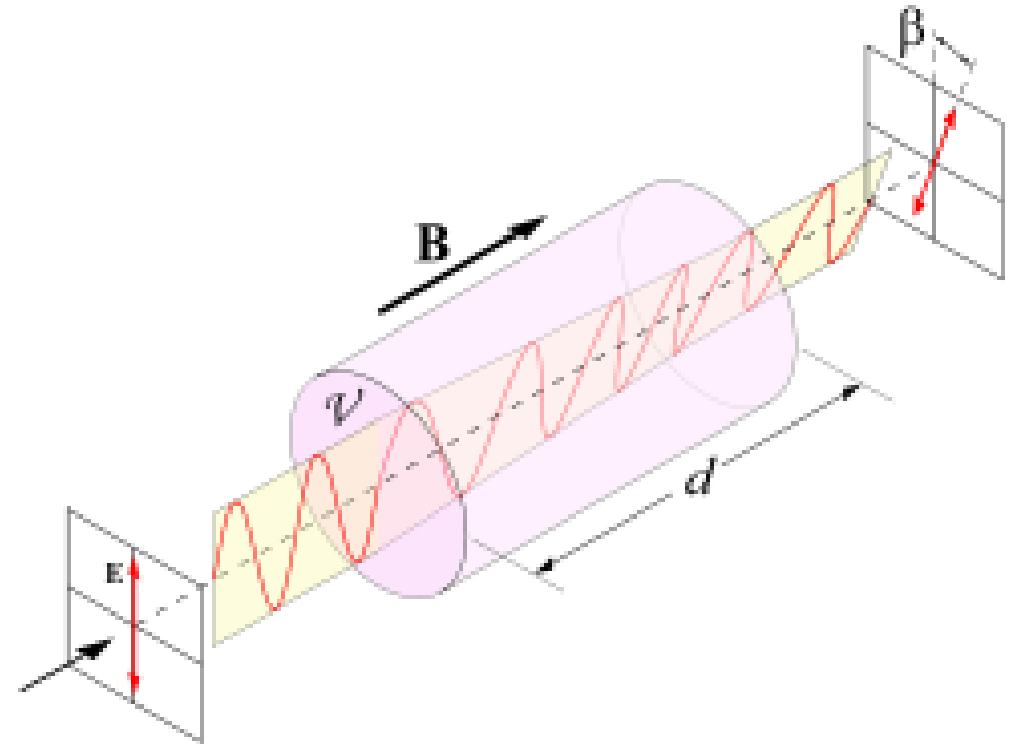
$$\Delta\phi = \Delta\phi_{M1} - \Delta\phi_{M2}$$

Attività ottica



Diversa velocità di propagazione di componenti con polarizzazione circolare R ed L

- effetto Faraday



$$\beta = VBd$$

V = Costante di Verdet

Attività ottica

$$\vec{E}_{\mathcal{R}} = \frac{E_0}{2} [\hat{\mathbf{i}} \cos(k_{\mathcal{R}}z - \omega t) + \hat{\mathbf{j}} \sin(k_{\mathcal{R}}z - \omega t)]$$

$$\vec{E}_{\mathcal{L}} = \frac{E_0}{2} [\hat{\mathbf{i}} \cos(k_{\mathcal{L}}z - \omega t) - \hat{\mathbf{j}} \sin(k_{\mathcal{L}}z - \omega t)]$$

$$\beta = -(k_{\mathcal{R}} - k_{\mathcal{L}})z/2$$

$$\beta = \frac{\pi d}{\lambda_0} (n_{\mathcal{L}} - n_{\mathcal{R}})$$

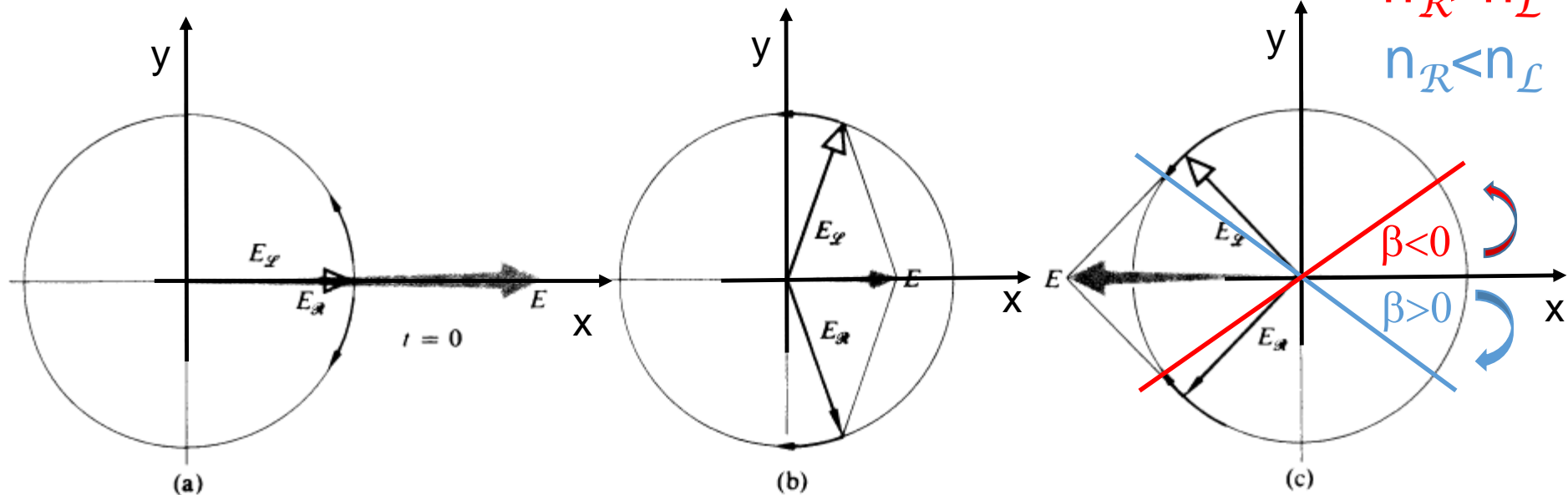
Due componenti in fase!

Uso prostaferesi

$$\vec{E} = E_0 \cos[(k_{\mathcal{R}} + k_{\mathcal{L}})z/2 - \omega t] [\hat{\mathbf{i}} \cos(k_{\mathcal{R}} - k_{\mathcal{L}})z/2 + \hat{\mathbf{j}} \sin(k_{\mathcal{R}} - k_{\mathcal{L}})z/2]$$

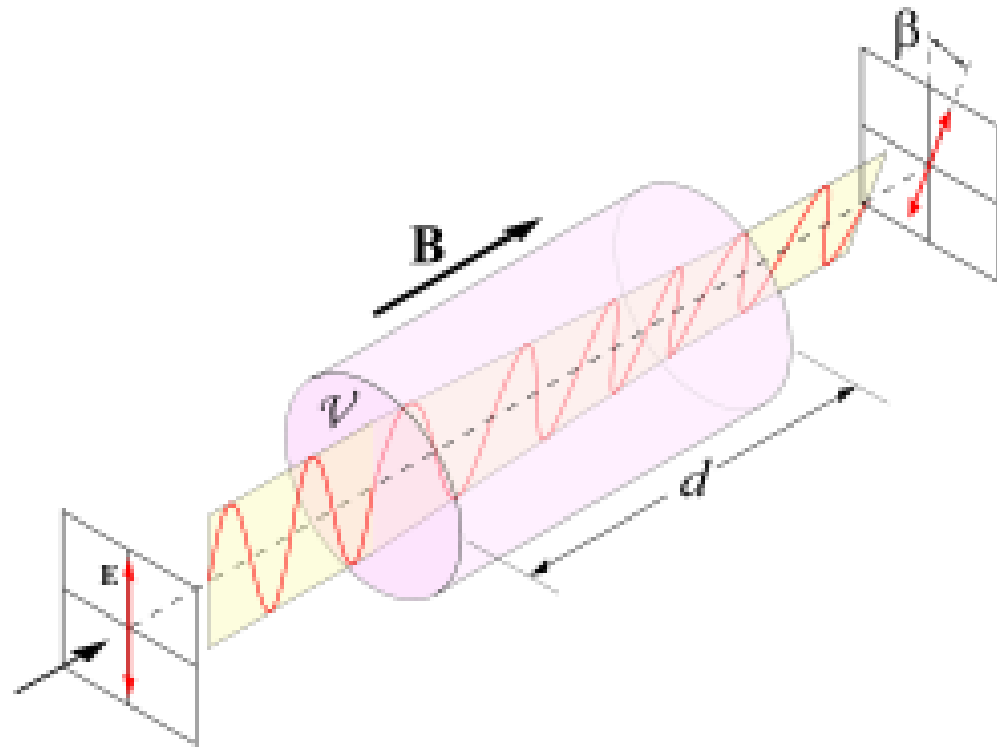
$$z = 0$$

$$\vec{E} = E_0 \hat{\mathbf{i}} \cos \omega t$$



Attività ottica

- effetto Faraday



$$\beta = VBd$$

V = Costante di Verdet

- effetto Macaluso – Corbino (1898)

Aumento dell'effetto vicino a risonanze atomiche

Onde e-m nei materiali

$$\nabla^2 \mathbf{E} - \mu\epsilon \frac{\partial^2 \mathbf{E}}{\partial t^2} = 0$$

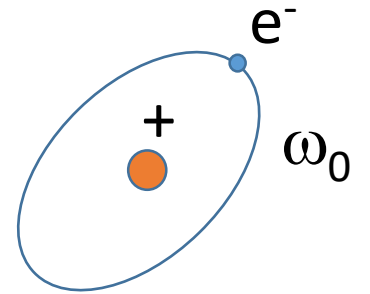
$$\nabla^2 \mathbf{B} - \mu\epsilon \frac{\partial^2 \mathbf{B}}{\partial t^2} = 0$$

$$v = \frac{1}{\sqrt{\mu\epsilon}} = \frac{c}{\sqrt{\mu_r \epsilon_r}} = \frac{c}{n} \leq c$$

$$n = \sqrt{\mu_r \epsilon_r} \approx \sqrt{\epsilon_r} \quad \text{e} \quad \mu_r \approx 1$$

$$\mathbf{k}^2 = \mu\epsilon \omega^2 = \frac{n^2}{c^2} \omega^2$$

- modello semiclassico



$$\mathbf{F}_{\text{totale}} = -m_e \omega_0^2 \mathbf{r} - m_e \gamma \dot{\mathbf{r}} + \mathbf{F}_{\text{ext}} = m_e \ddot{\mathbf{r}}$$

$$\ddot{\mathbf{r}} + \gamma \dot{\mathbf{r}} + \omega_0^2 \mathbf{r} = \frac{\mathbf{F}_{\text{ext}}}{m_e}$$

$$\ddot{z} + \gamma \dot{z} + \omega_0^2 z = \frac{q_e}{m_e} E_0|_{\text{locale}} e^{-i\omega t}$$

$$z(t) = \frac{q_e}{m_e} \frac{1}{\omega_0^2 - \omega^2 - i\gamma\omega} E_0|_{\text{locale}} e^{-i\omega t}$$

Onde e-m nei materiali

$$z(t) = \frac{q_e}{m_e} \frac{1}{\omega_0^2 - \omega^2 - i\gamma\omega} E_0|_{\text{locale}} e^{-i\omega t}$$

momento di dipolo $\mathbf{p} = q_e \mathbf{r}(t)$

$$\begin{aligned} \mathbf{p} &= \frac{q_e^2}{m_e} \frac{1}{\omega_0^2 - \omega^2 - i\gamma\omega} \mathbf{E}_0|_{\text{locale}} e^{-i\omega t} \\ &= \epsilon_0 \frac{q_e^2}{m_e} \frac{1}{\omega_0^2 - \omega^2 - i\gamma\omega} \mathbf{E}|_{\text{locale}} = \\ &= \epsilon_0 \alpha \mathbf{E}|_{\text{locale}} \\ &\approx \epsilon_0 \alpha \mathbf{E} \end{aligned}$$

Polarizzabilità

$$\alpha = \frac{q_e^2}{\epsilon_0 m_e} \frac{1}{\omega_0^2 - \omega^2 - i\gamma\omega}$$

Onde e-m nei materiali

$$\begin{aligned}\mathbf{P} &= N\mathbf{p} = \epsilon_0 N\alpha\mathbf{E} = \\ &= \epsilon_0 \left[\frac{Nq_e^2}{\epsilon_0 m_e} \frac{1}{\omega_0^2 - \omega^2 - i\gamma\omega} \right] \mathbf{E} = \\ &= \epsilon_0 \chi_e \mathbf{E},\end{aligned}$$

$$\begin{aligned}\chi_e &= \left[\frac{Nq_e^2}{\epsilon_0 m_e} \frac{1}{\omega_0^2 - \omega^2 - i\gamma\omega} \right] \\ &= (\epsilon_r - 1) = n^2 - 1 = \\ &= (n + 1)(n - 1)\end{aligned}$$

Per $n \sim 1$

Polarizzabilità

$$\alpha = \frac{q_e^2}{\epsilon_0 m_e} \frac{1}{\omega_0^2 - \omega^2 - i\gamma\omega}$$

Indice di rifrazione complesso

$$n = |n|e^{i\psi} = \sqrt{n_R^2 + n_I^2} e^{i\psi}$$

$$\begin{aligned}n_R &= 1 + \frac{1}{2} \frac{Nq_e^2}{\epsilon_0 m_e} \frac{\omega_0^2 - \omega^2}{(\omega_0^2 - \omega^2)^2 + \gamma^2\omega^2} \\ n_I &= \frac{1}{2} \frac{Nq_e^2}{\epsilon_0 m_e} \frac{\gamma\omega}{(\omega_0^2 - \omega^2)^2 + \gamma^2\omega^2}\end{aligned}$$

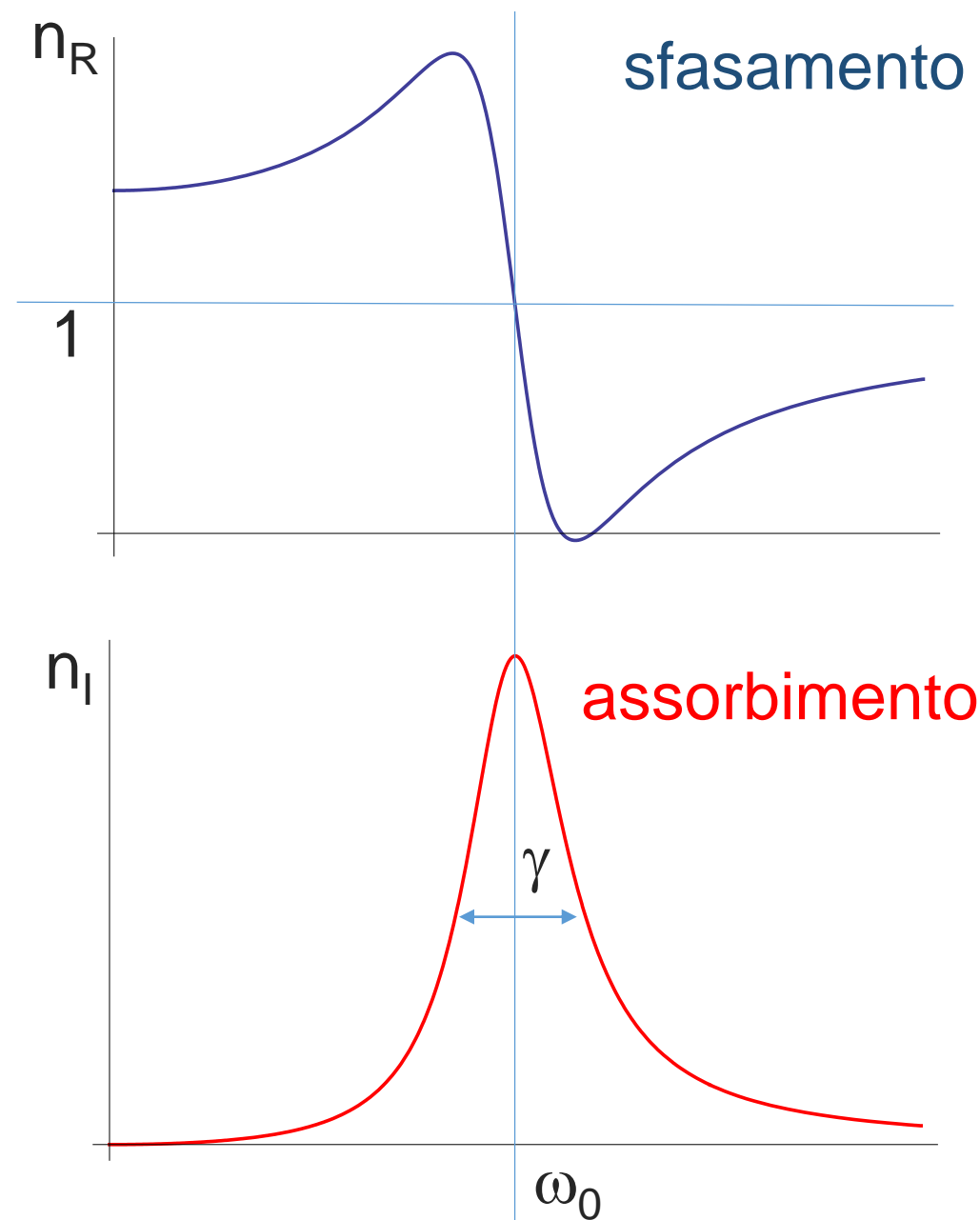
Onde e-m nei materiali

$$n_R = 1 + \frac{1}{2} \frac{Nq_e^2}{\epsilon_0 m_e} \frac{\omega_0^2 - \omega^2}{(\omega_0^2 - \omega^2)^2 + \gamma^2 \omega^2}$$
$$n_I = \frac{1}{2} \frac{Nq_e^2}{\epsilon_0 m_e} \frac{\gamma \omega}{(\omega_0^2 - \omega^2)^2 + \gamma^2 \omega^2}$$

$$k_R = \frac{\omega}{c} n_R$$
$$k_I = \frac{\omega}{c} n_I$$



$$\mathbf{E}(y, t) = \hat{z} E_0 \underline{e^{-\frac{n_I}{c} \omega y}} \underline{e^{i(\frac{n_R}{c} \omega y - \omega t)}}$$



Onde e-m nei materiali (Clausius -Mossotti)

Contributo al campo da atomi vicini

$$\mathbf{E}|_{\text{locale}} = \mathbf{E} + \frac{1}{3} \frac{\mathbf{P}}{\epsilon_0}$$

$$\begin{aligned} \mathbf{p} &= \frac{q_e^2}{m_e} \frac{1}{\omega_0^2 - \omega^2 - i\gamma\omega} \mathbf{E}_0|_{\text{locale}} e^{-i\omega t} \\ &= \epsilon_0 \alpha \mathbf{E}|_{\text{locale}} \end{aligned}$$

$$\mathbf{P} = N \mathbf{p}$$

$$= \epsilon_0 N \alpha \left[\mathbf{E} + \frac{1}{3} \frac{\mathbf{P}}{\epsilon_0} \right]$$

$$= \epsilon_0 \frac{N \alpha}{1 - \frac{1}{3} N \alpha} \mathbf{E}$$

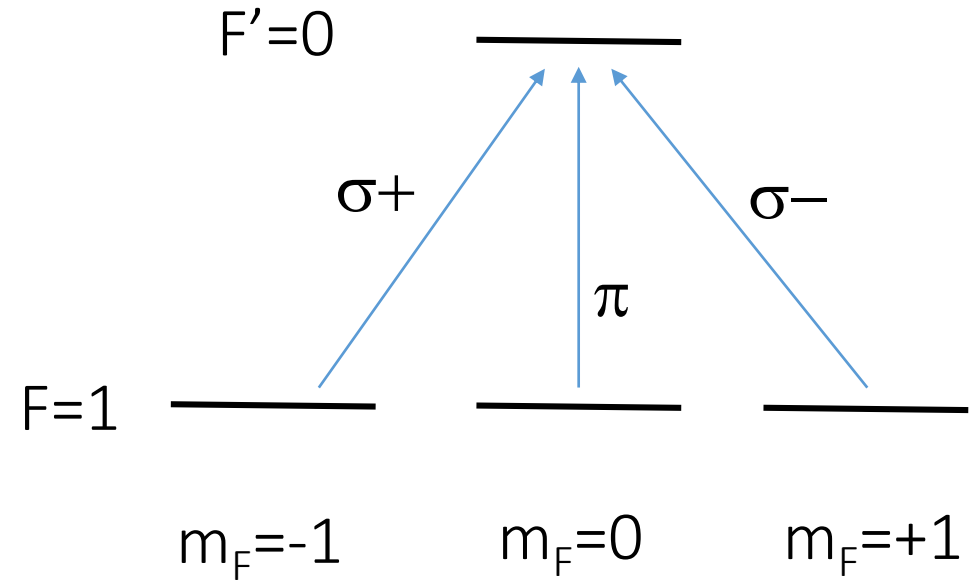
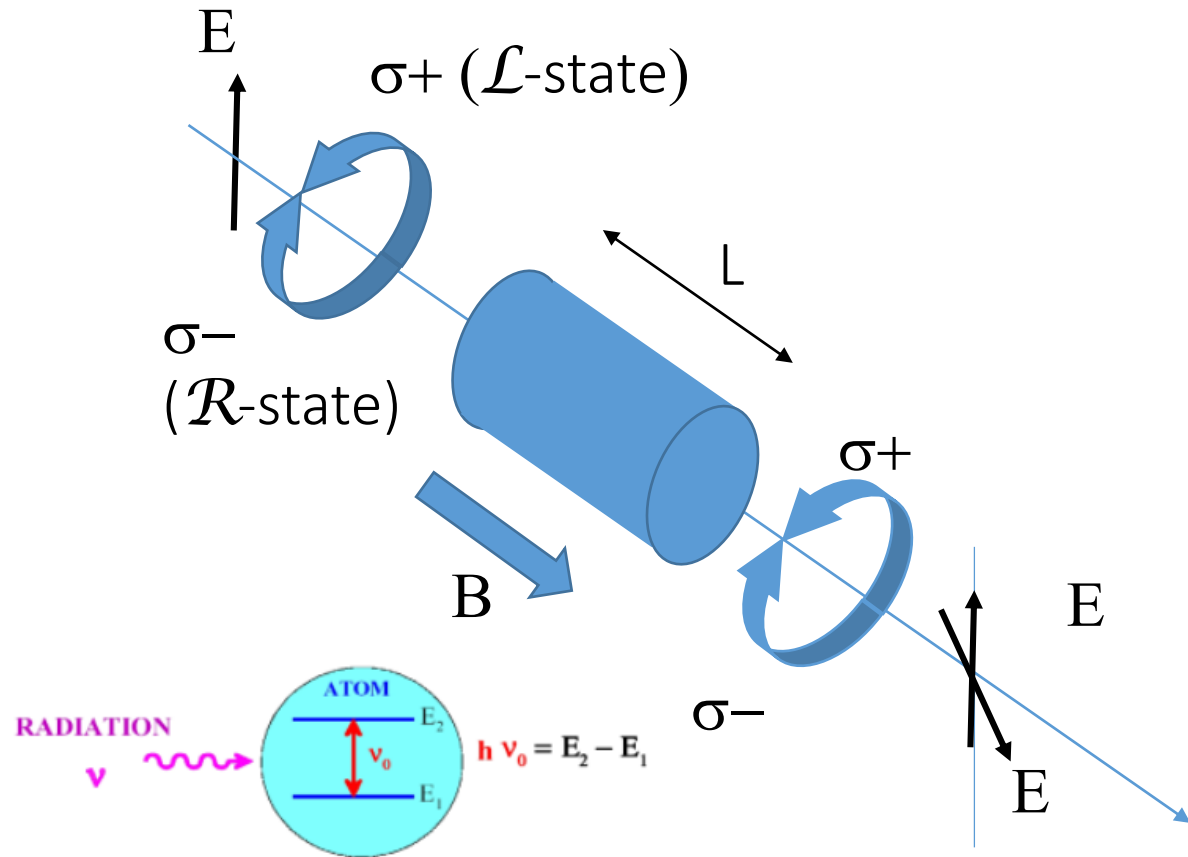
$$= \epsilon_0 \chi_e \mathbf{E}$$

$$= \epsilon_0 (\epsilon_r - 1) \mathbf{E}$$

$$(n^2 - 1) = \frac{N \alpha}{1 - \frac{1}{3} N \alpha} \text{ ,}$$

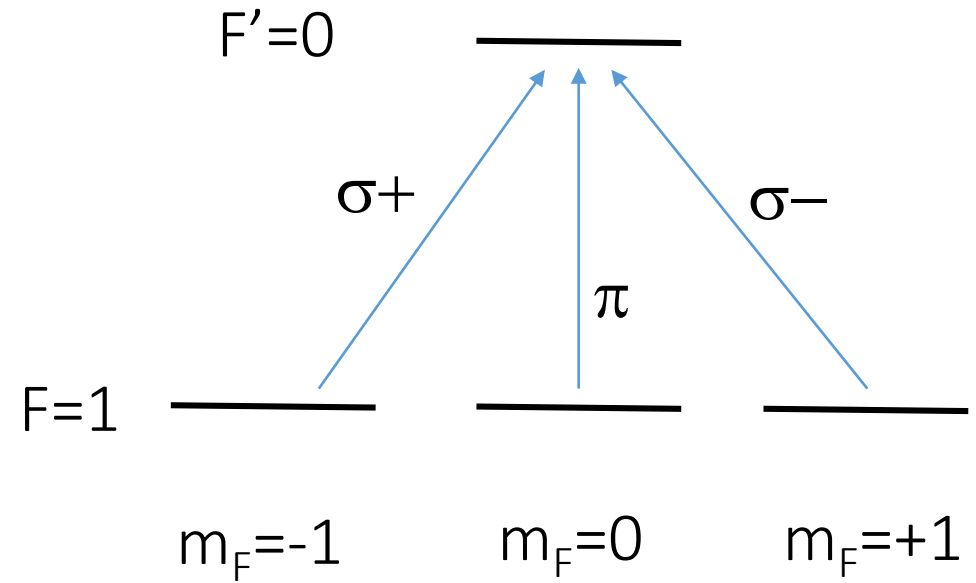
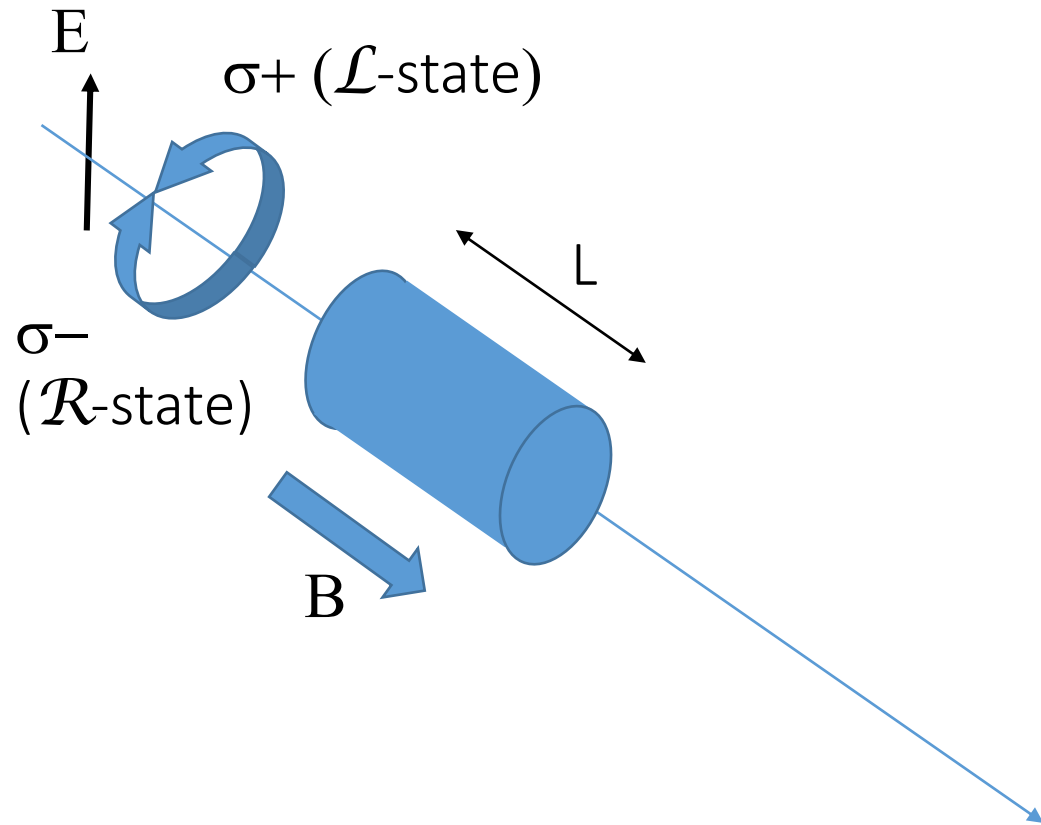
$$\boxed{3 \frac{n^2 - 1}{n^2 + 2} = N \alpha \text{ .}}$$

Effetto Faraday (Macaluso-Corbino)

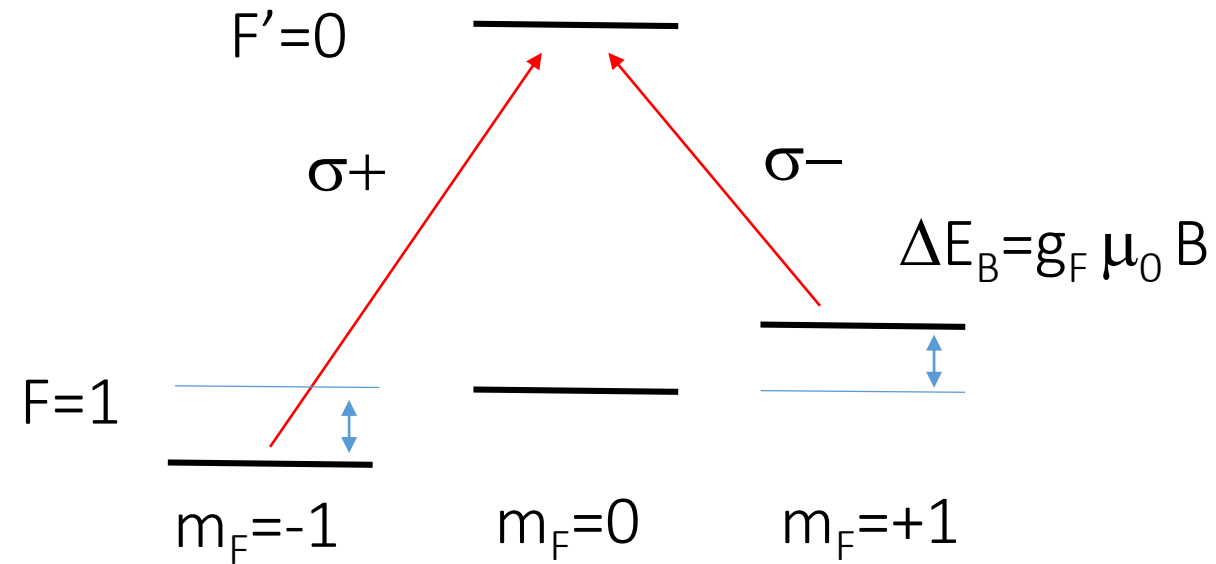
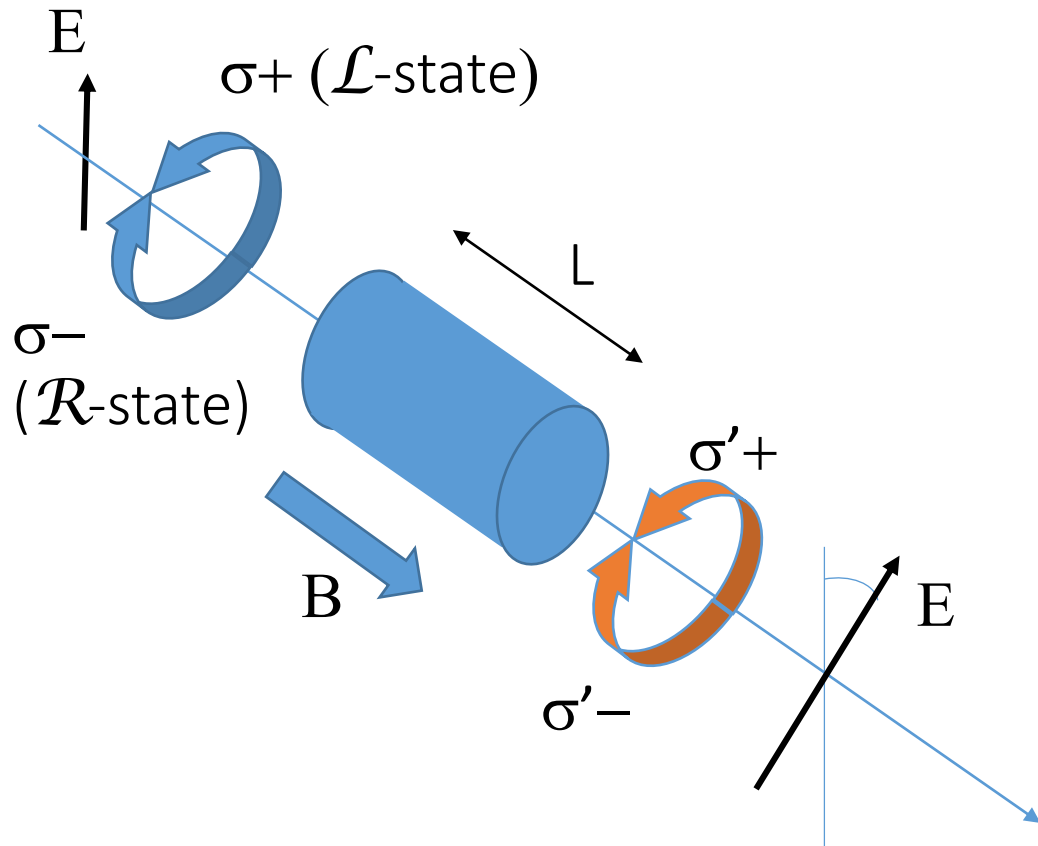


- Vetri flint $V \simeq 3 \times 10^{-5} \text{ rad G}^{-1} \text{ cm}^{-1}$
- Rubidio ($\omega \simeq \omega_0$) $V \simeq 10^4 \text{ rad G}^{-1} \text{ cm}^{-1}$

Effetto Faraday (Macaluso-Corbino)



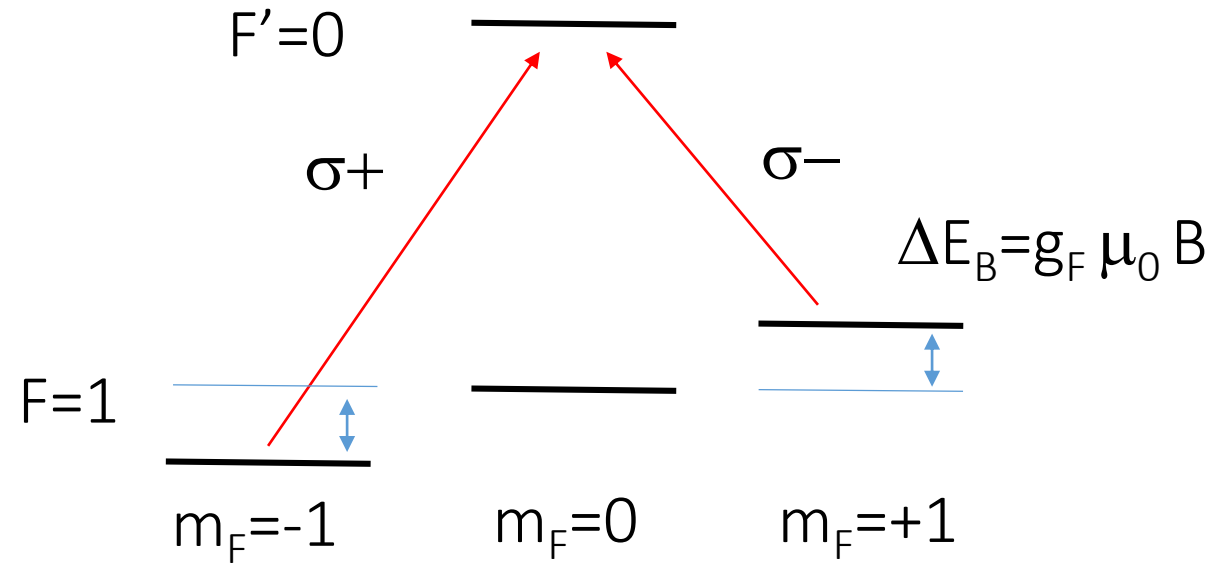
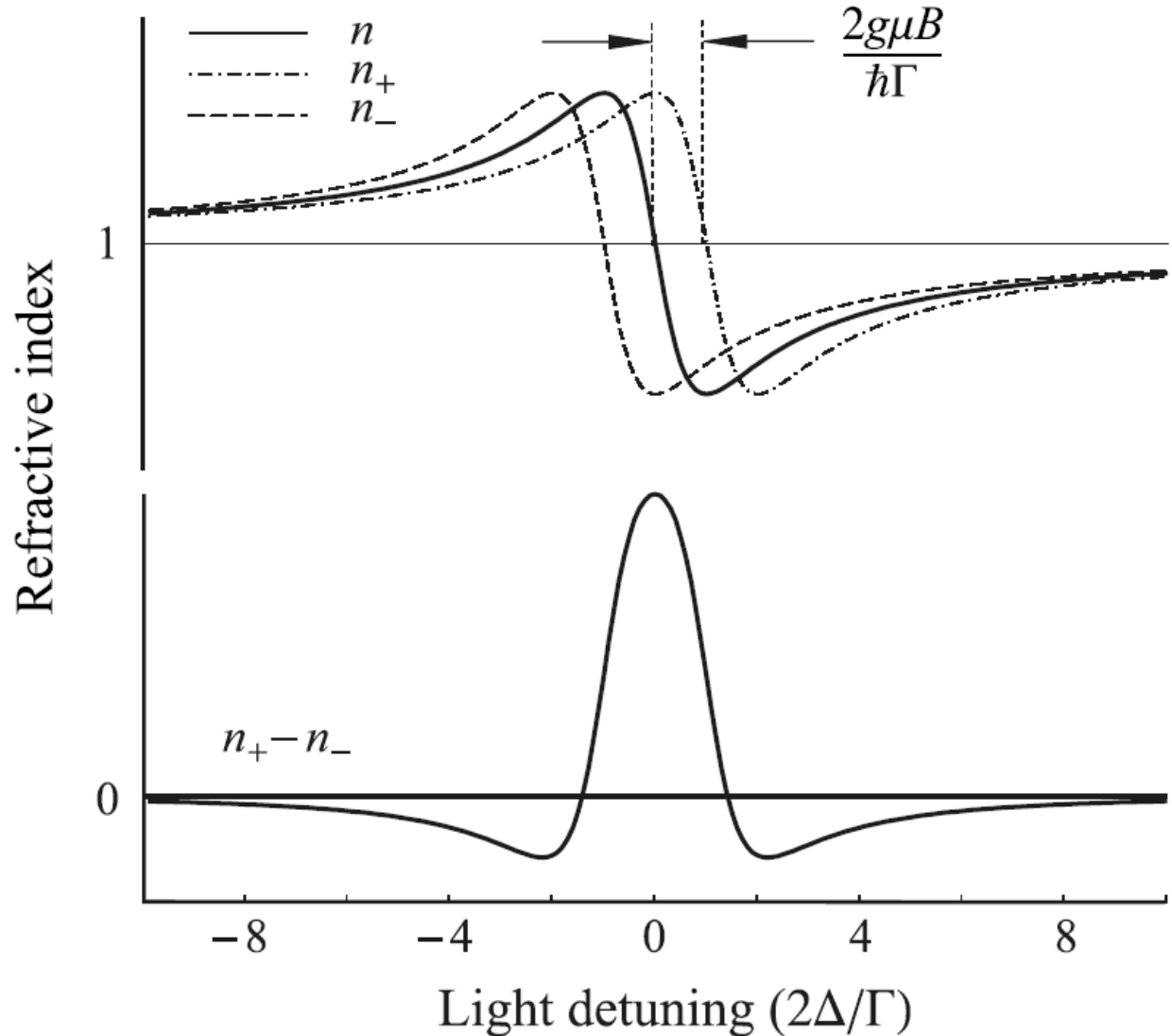
Effetto Faraday (Macaluso-Corbino)



$$\beta = \pi L (n_{\mathcal{L}} - n_{\mathcal{R}}) / \lambda_0$$

$$\beta = \pi L \operatorname{Re}\{n_+ - n_-\} / \lambda_0$$

Effetto Faraday (Macaluso-Corbino)



$$\beta = \pi L (n_{\mathcal{L}} - n_{\mathcal{R}}) / \lambda_0$$

$$\beta = \pi L \operatorname{Re}\{n_+ - n_-\} / \lambda_0$$

Effetto Faraday (Macaluso-Corbino)

$$n(\omega) = 1 + \frac{1}{2} \frac{N q_e^2}{\epsilon_0 m_e} \frac{1}{(\omega_0^2 - \omega^2 - i\gamma\omega)}$$

Estensione modello semiclassico:

$$n_{\pm}(\omega) = 1 + \frac{1}{2} \frac{N q_e^2}{\epsilon_0 m_e} \frac{1}{((\omega_0 \pm g_F \mu_0 B / \hbar)^2 - \omega^2 - i\gamma\omega)}$$

$$\gamma \longrightarrow \Gamma = \frac{\omega_0^3}{3\pi\epsilon_0 \hbar c^2} |\langle e | \mu | g \rangle|^2$$

$$\omega = \omega_0$$

$$\beta = \frac{L}{2L_0} \frac{b}{1 + b^2}$$

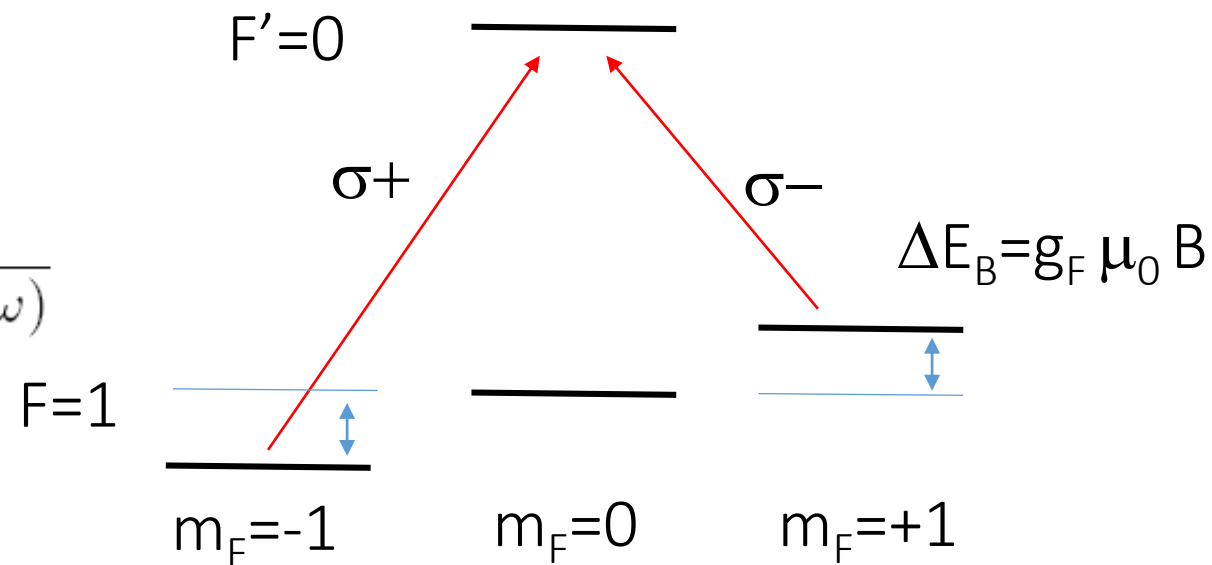
$$b = 2 \frac{\delta\omega_B}{\Gamma} = 2 \frac{g_F \mu_0 B}{\hbar \Gamma}$$

$$L_0 = \frac{N q_e^2}{\epsilon_0 m_e c \Gamma}$$

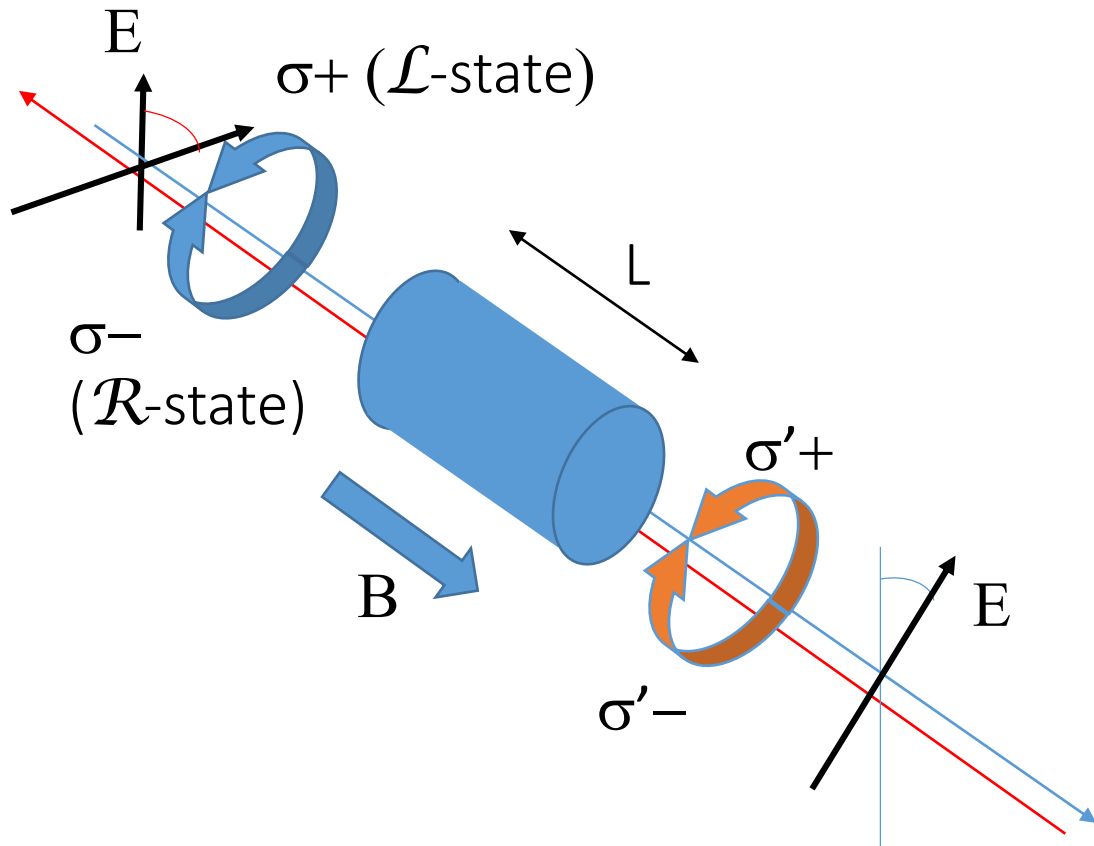
Shift Zeeman
normalizzato

Lunghezza di assorbimento
in risonanza

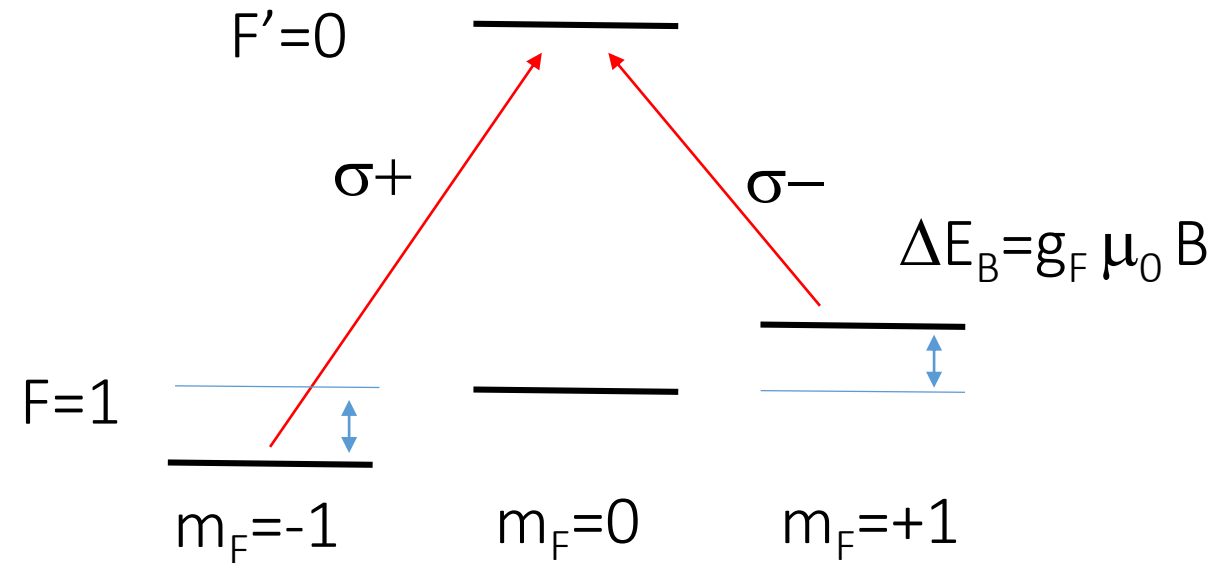
$$\beta = \pi L \operatorname{Re}\{n_+ - n_-\}/\lambda_0$$



Effetto Faraday (Macaluso-Corbino)



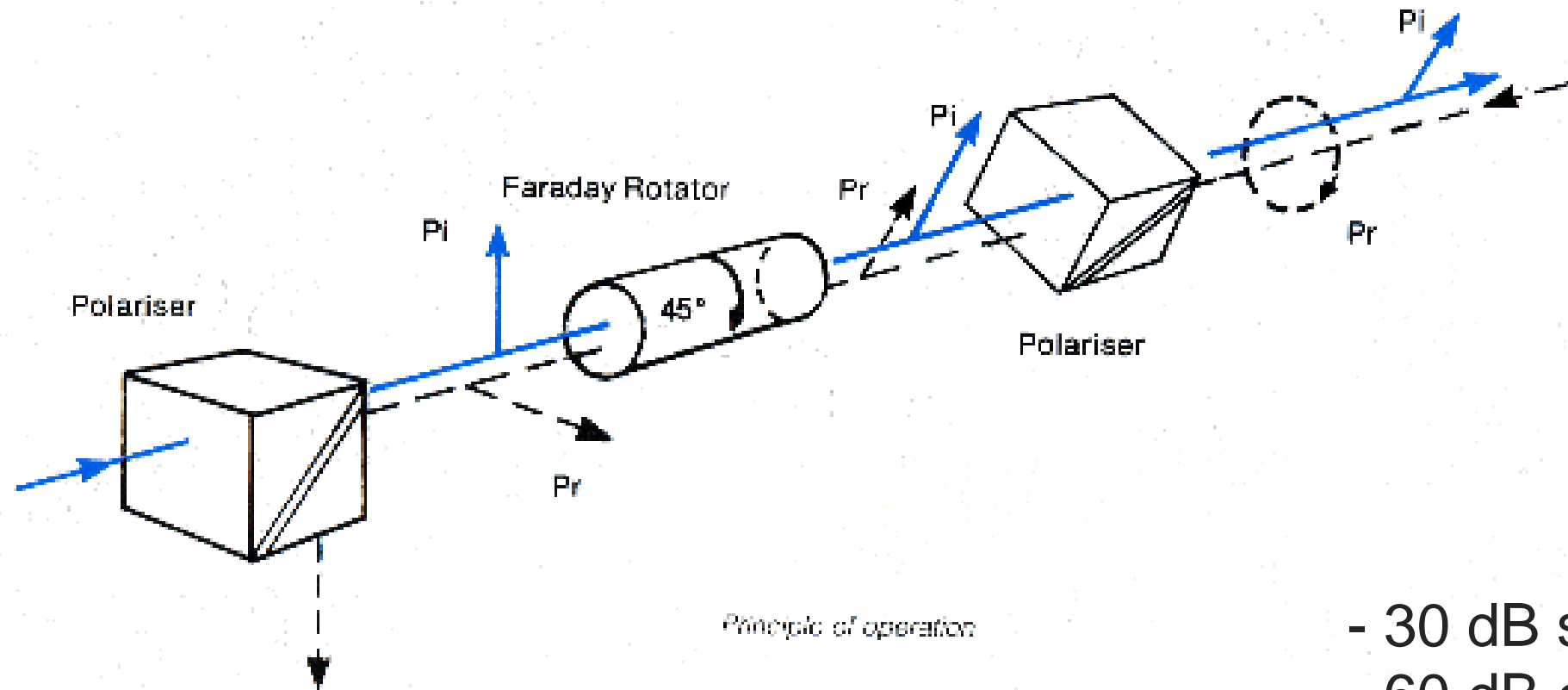
Rotazione nello stesso verso per direzioni opposte !



$$\beta = \frac{L}{2L_0} \frac{b}{1 + b^2}$$

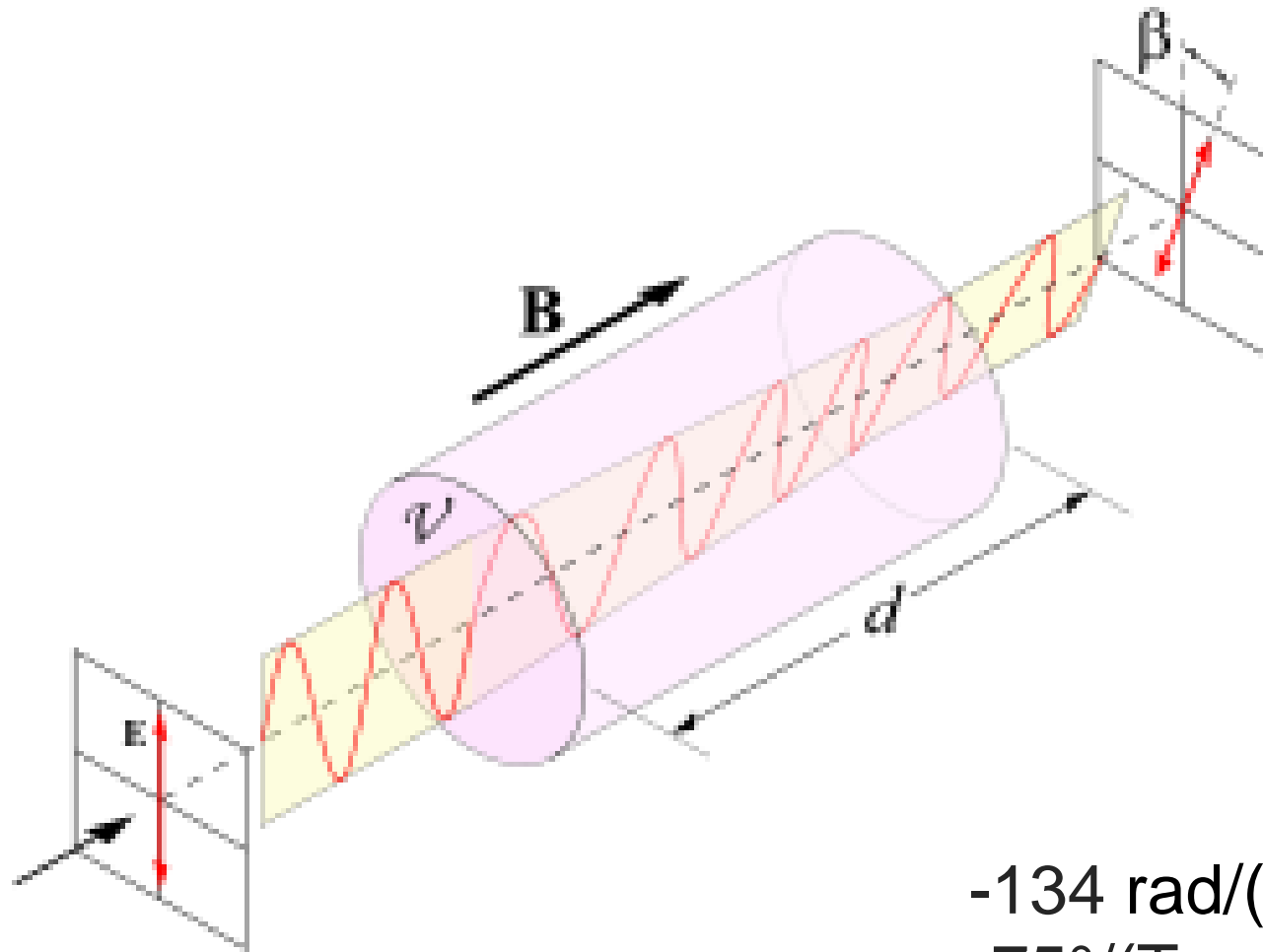
$$b = 2 \frac{\delta\omega_B}{\Gamma} = 2 \frac{g_F \mu_0 B}{\hbar \Gamma}$$

Isolatore ottico



- 30 dB singoli
- 60 dB doppio stadio

Rotatore di Faraday

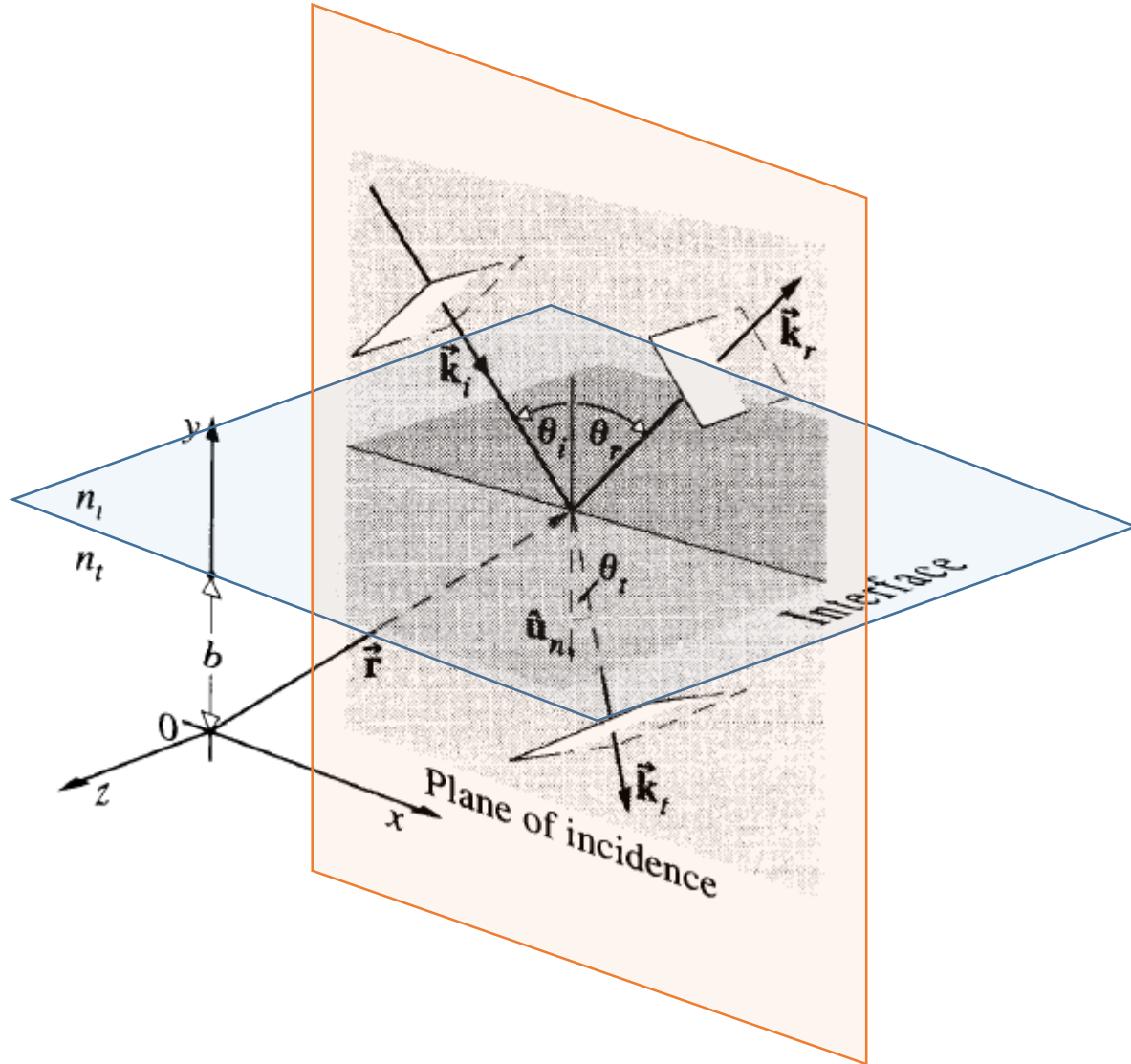


$$\beta = V B d$$

V = Costante di Verdet

-134 rad/(T m) per Terbium Gallium garnet
-75°/(T cm)

Riflessione Rifrazione



$$\vec{E}_i = \vec{E}_{0i} \cos(\vec{k}_i \cdot \vec{r} - \omega_i t)$$

$$\vec{E}_r = \vec{E}_{0r} \cos(\vec{k}_r \cdot \vec{r} - \omega_r t + \epsilon_r)$$

$$\vec{E}_t = \vec{E}_{0t} \cos(\vec{k}_t \cdot \vec{r} - \omega_t t + \epsilon_t)$$

- continuità dei campi all'interfaccia

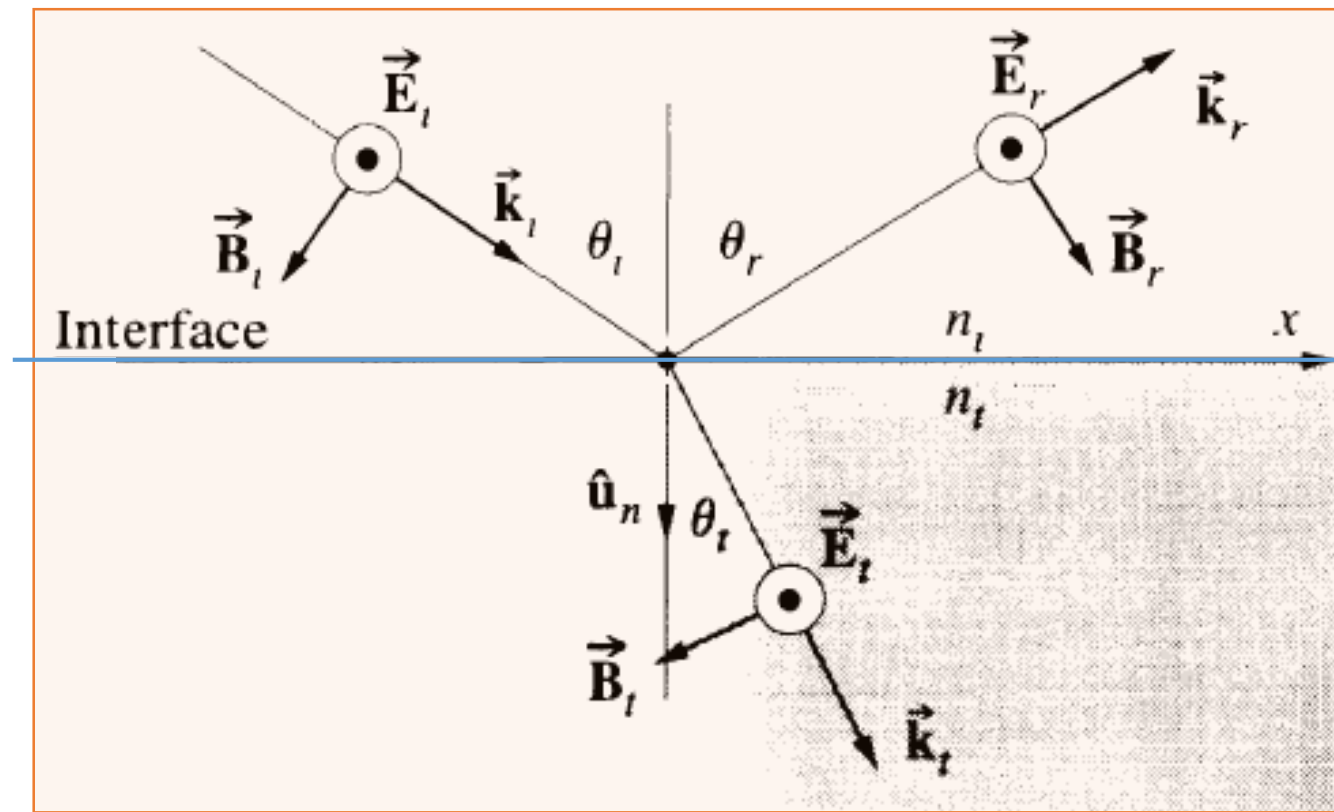
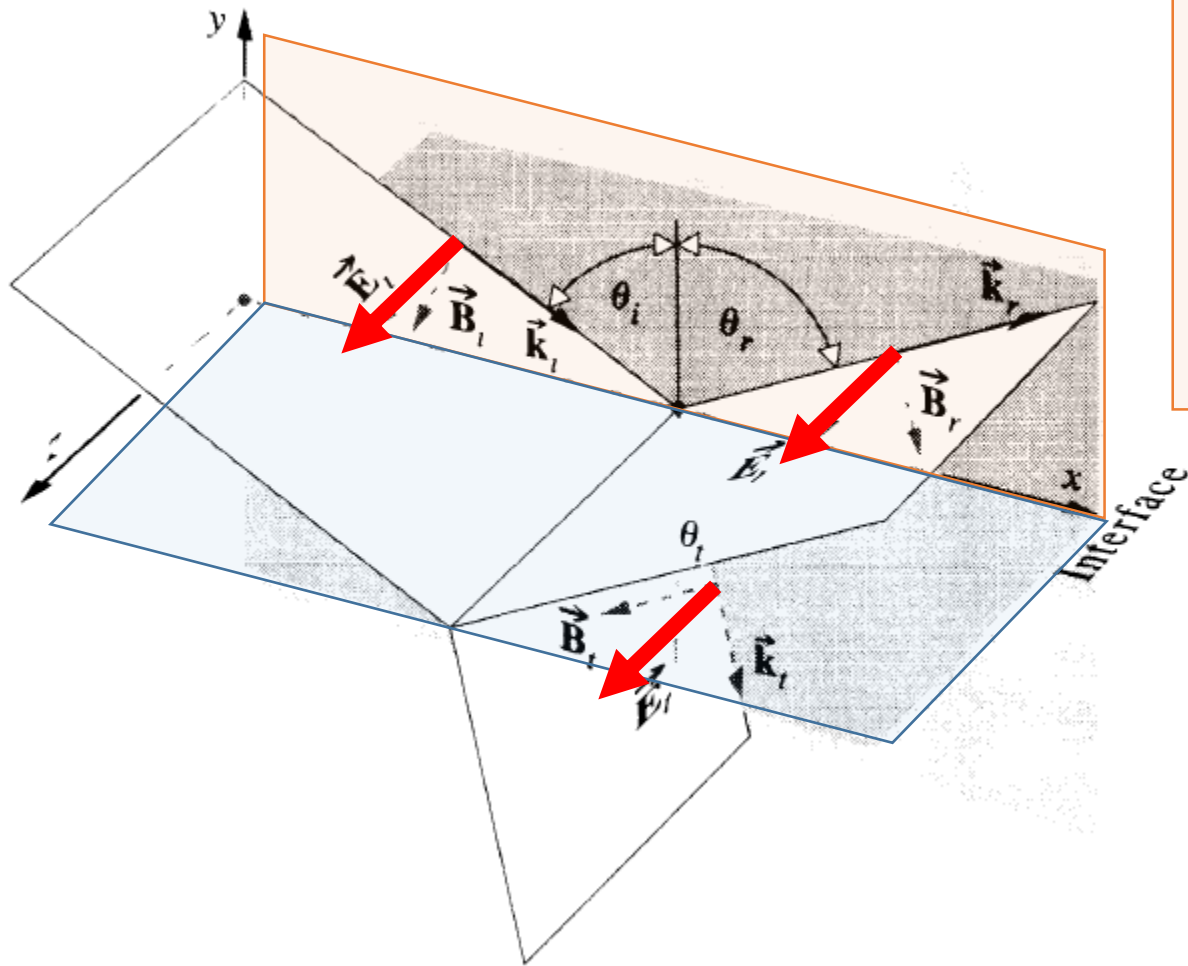
$$\theta_i = \theta_r$$

$$\omega_i = \omega_r = \omega_t$$

$$n_i \sin \theta_i = n_t \sin \theta_t$$

Riflessione Rifrazione

- E ortogonale a **piano di incidenza** (s)



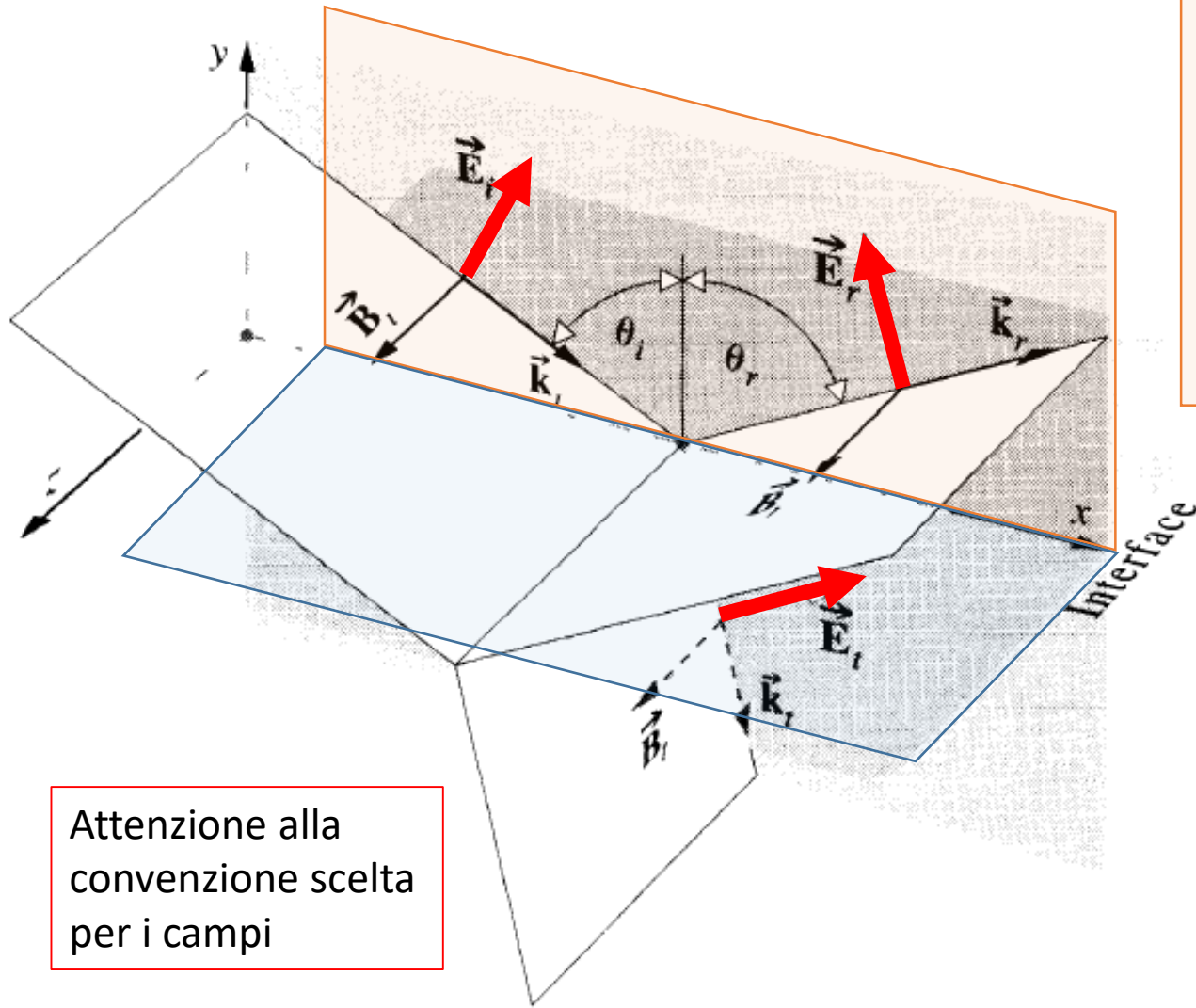
- Relazioni di Fresnel

$$r_{\perp} \equiv \left(\frac{E_{Or}}{E_{Oi}} \right)_{\perp} = \frac{n_i \cos \theta_i - n_t \cos \theta_t}{n_i \cos \theta_i + n_t \cos \theta_t}$$

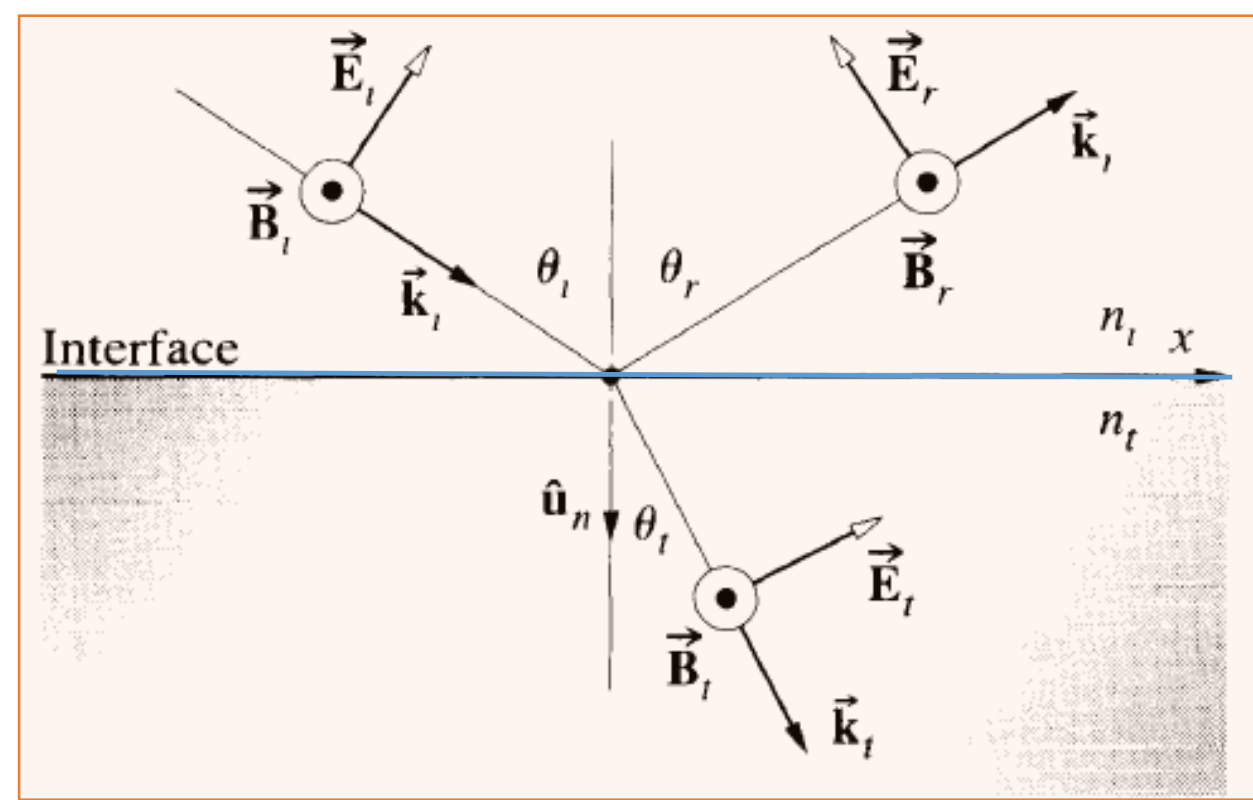
$$t_{\perp} \equiv \left(\frac{E_{Ot}}{E_{Oi}} \right)_{\perp} = \frac{2n_i \cos \theta_i}{n_i \cos \theta_i + n_t \cos \theta_t}$$

Riflessione Rifrazione

- E *parallelo* a **piano di incidenza** (p)



Attenzione alla convenzione scelta per i campi



- Relazioni di Fresnel

$$r_{\parallel} = \frac{n_t \cos \theta_i - n_i \cos \theta_t}{n_i \cos \theta_t + n_t \cos \theta_i}$$

$$t_{\parallel} = \frac{2n_i \cos \theta_i}{n_i \cos \theta_t + n_t \cos \theta_i}$$

Riflessione Rifrazione

- Relazioni di Fresnel

$$r_{\parallel} = \frac{n_t \cos \theta_i - n_i \cos \theta_t}{n_i \cos \theta_t + n_t \cos \theta_i}$$

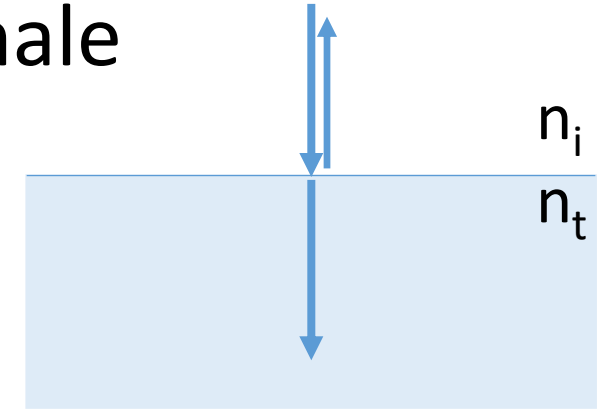
$$r_{\perp} = \frac{n_i \cos \theta_i - n_t \cos \theta_t}{n_i \cos \theta_i + n_t \cos \theta_t}$$

$$t_{\perp} = \frac{2n_i \cos \theta_i}{n_i \cos \theta_i + n_t \cos \theta_t}$$

$$t_{\parallel} = \frac{2n_i \cos \theta_i}{n_i \cos \theta_t + n_t \cos \theta_i}$$

- incidenza normale

$$\theta_i=0, \theta_t=0$$



$$[r_{\parallel}]_{\theta_i=0} = [-r_{\perp}]_{\theta_i=0} = \frac{n_t - n_i}{n_t + n_i} = \pm 0.2$$

$n_i=1$
$n_t=1.5$

$$[t_{\parallel}]_{\theta_i=0} = [t_{\perp}]_{\theta_i=0} = \frac{2n_i}{n_i + n_t} = +0.8$$

Riflessione Rifrazione

$$r_{\perp} = \frac{n_i \cos \theta_i - n_t \cos \theta_t}{n_i \cos \theta_i + n_t \cos \theta_t} < 0 \quad = -0.2$$

$$= -1$$

$$r_{\parallel} = \frac{n_t \cos \theta_i - n_i \cos \theta_t}{n_i \cos \theta_t + n_t \cos \theta_i} \quad = +0.2$$

$$= -1$$

$$t_{\perp} = \frac{2n_i \cos \theta_i}{n_i \cos \theta_i + n_t \cos \theta_t} \quad = 0.8$$

$$= 0$$

$$t_{\parallel} = \frac{2n_i \cos \theta_i}{n_i \cos \theta_t + n_t \cos \theta_i} \quad = 0.8$$

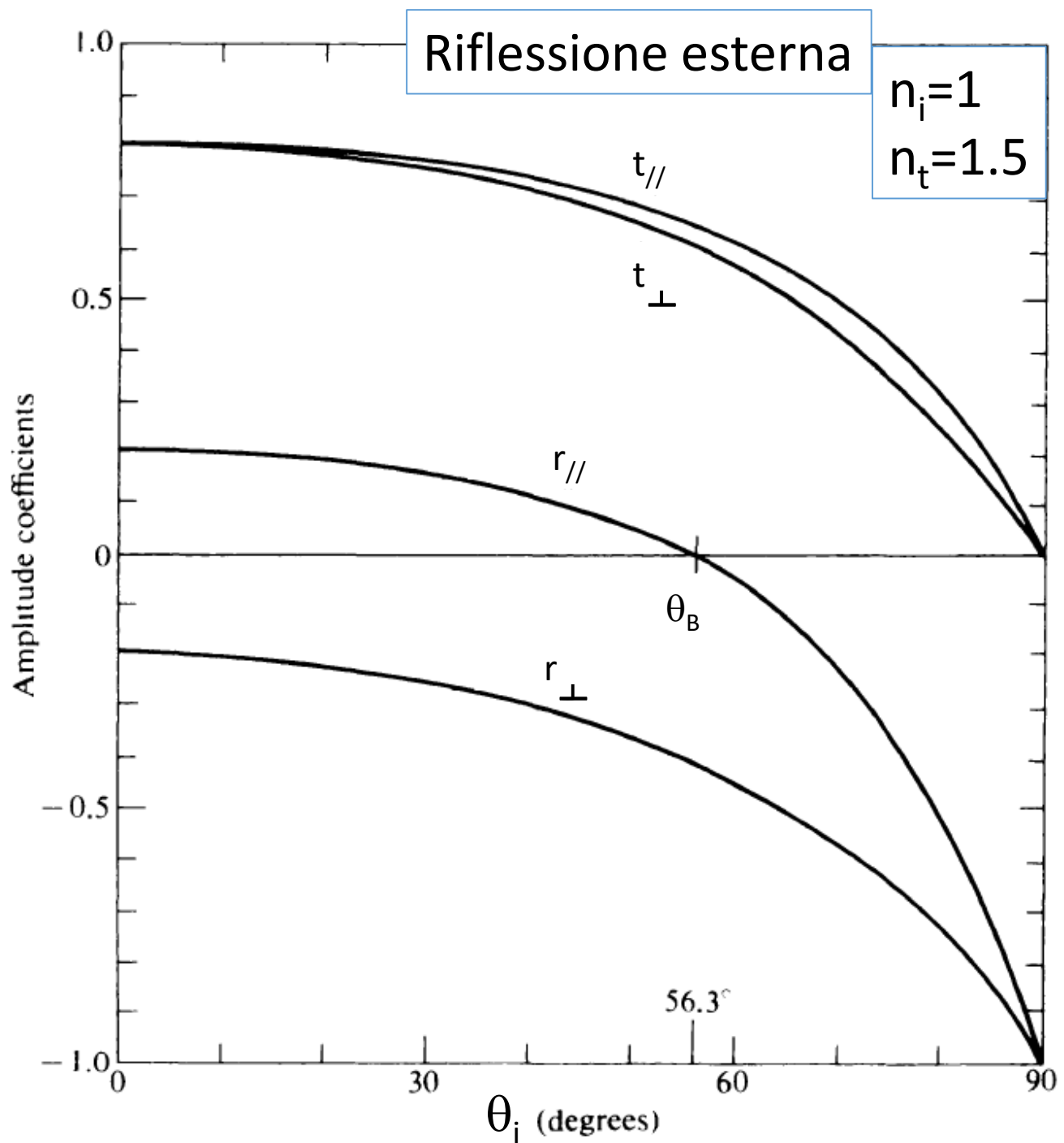
$$= 0$$

$$t_{\perp} + (-r_{\perp}) = 1$$

$$t_{\parallel} + r_{\parallel} = 1$$

Per ogni θ_i

Solo per $\theta_i=0$

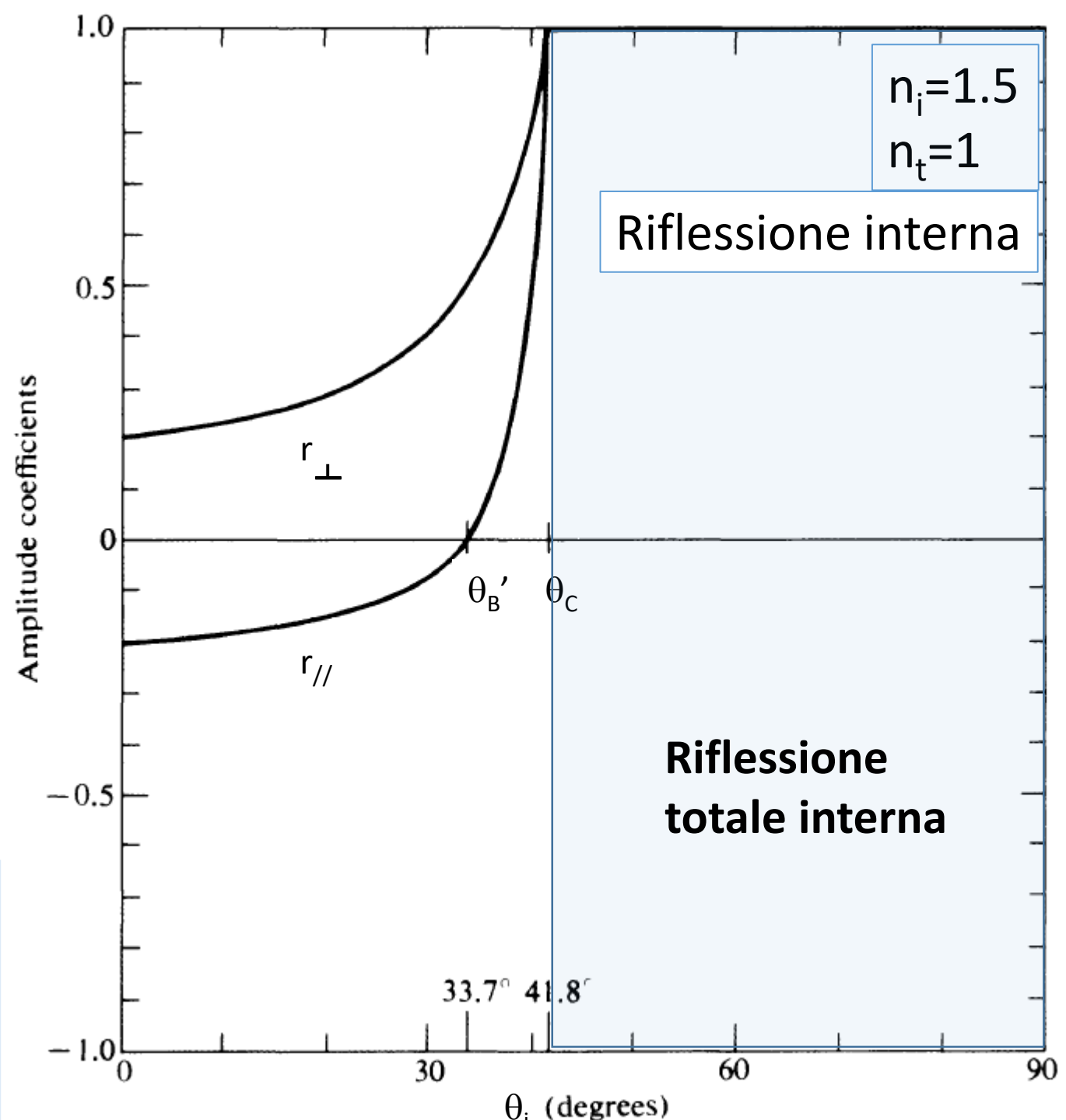
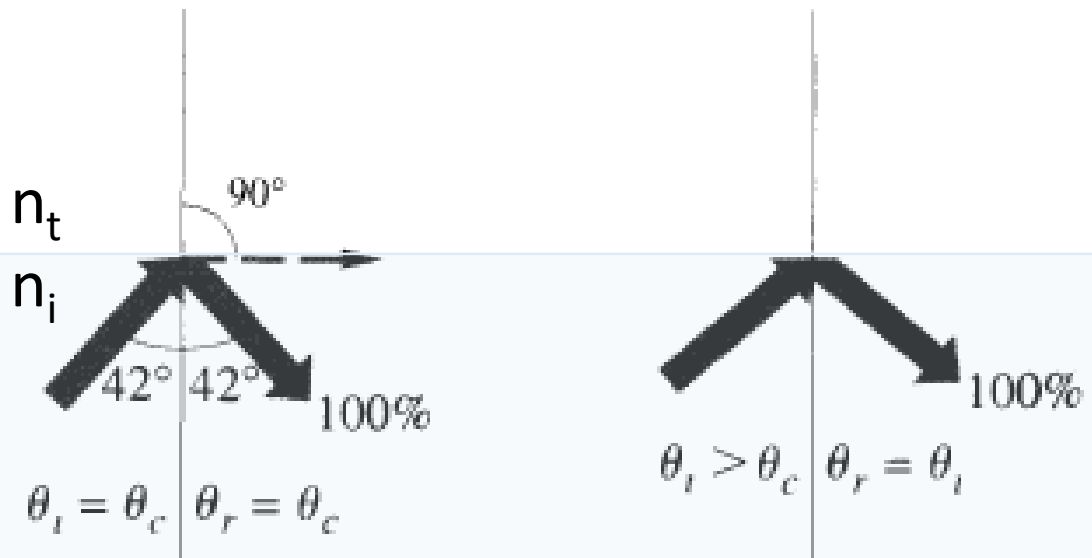


Riflessione Rifrazione

$$r_{\perp} = \frac{n_i \cos \theta_i - n_t \cos \theta_t}{n_i \cos \theta_i + n_t \cos \theta_t}$$

$$r_{\parallel} = \frac{n_t \cos \theta_i - n_i \cos \theta_t}{n_i \cos \theta_t + n_t \cos \theta_i}$$

- θ'_B e θ_B complementari
- $\sin \theta_C = n_t/n_i$



Riflessione Rifrazione

- shift di fase

$$r_{\perp} = \frac{n_i \cos \theta_i - n_t \cos \theta_t}{n_i \cos \theta_i + n_t \cos \theta_t} < 0$$

$$t_{\perp} = \frac{2n_i \cos \theta_i}{n_i \cos \theta_i + n_t \cos \theta_t} > 0$$

$$t_{\parallel} = \frac{2n_i \cos \theta_i}{n_i \cos \theta_t + n_t \cos \theta_i} > 0$$

$$r_{\parallel} = \frac{n_t \cos \theta_i - n_i \cos \theta_t}{n_i \cos \theta_t + n_t \cos \theta_i} \pm$$

$\Delta\phi$

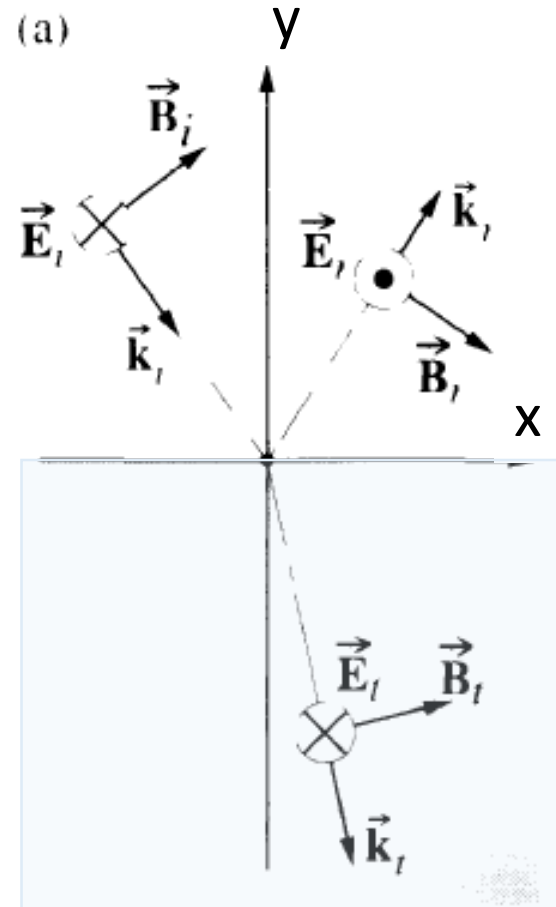
π

0

0

?

$E_{//i}$ in fase con $E_{//t}$ se componenti y sono parallele



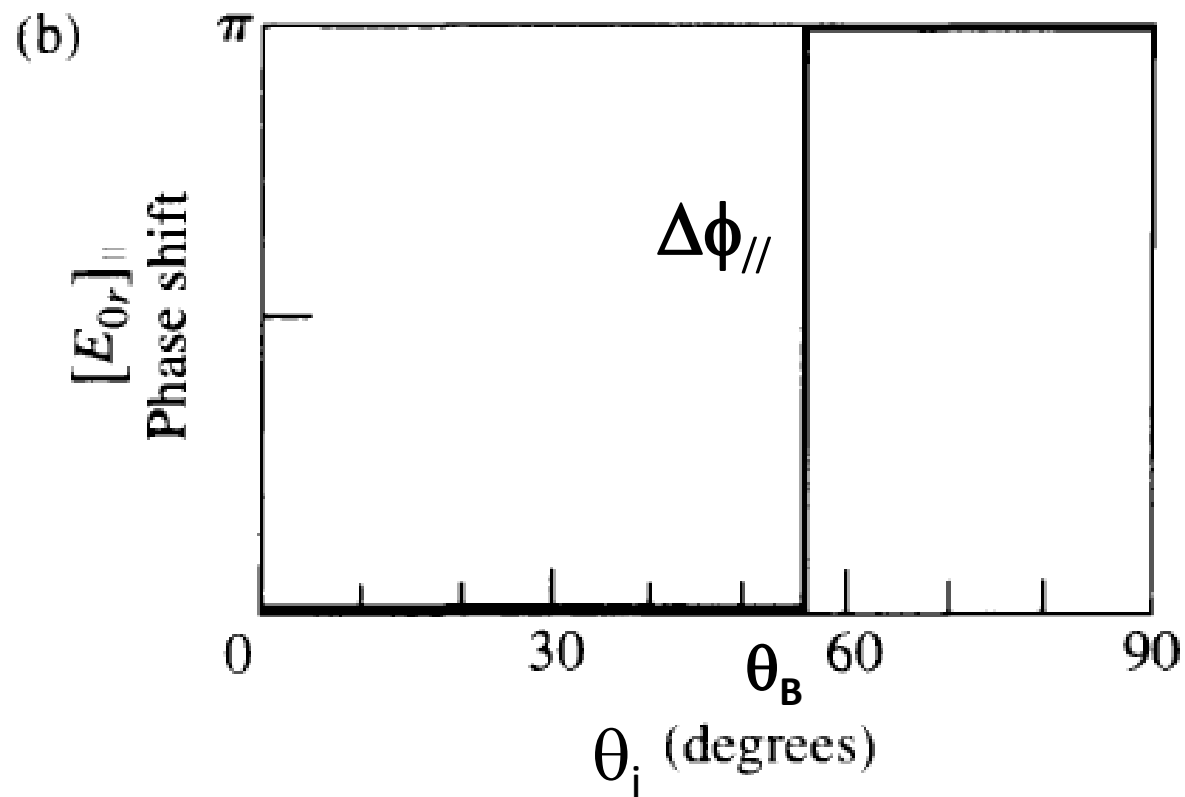
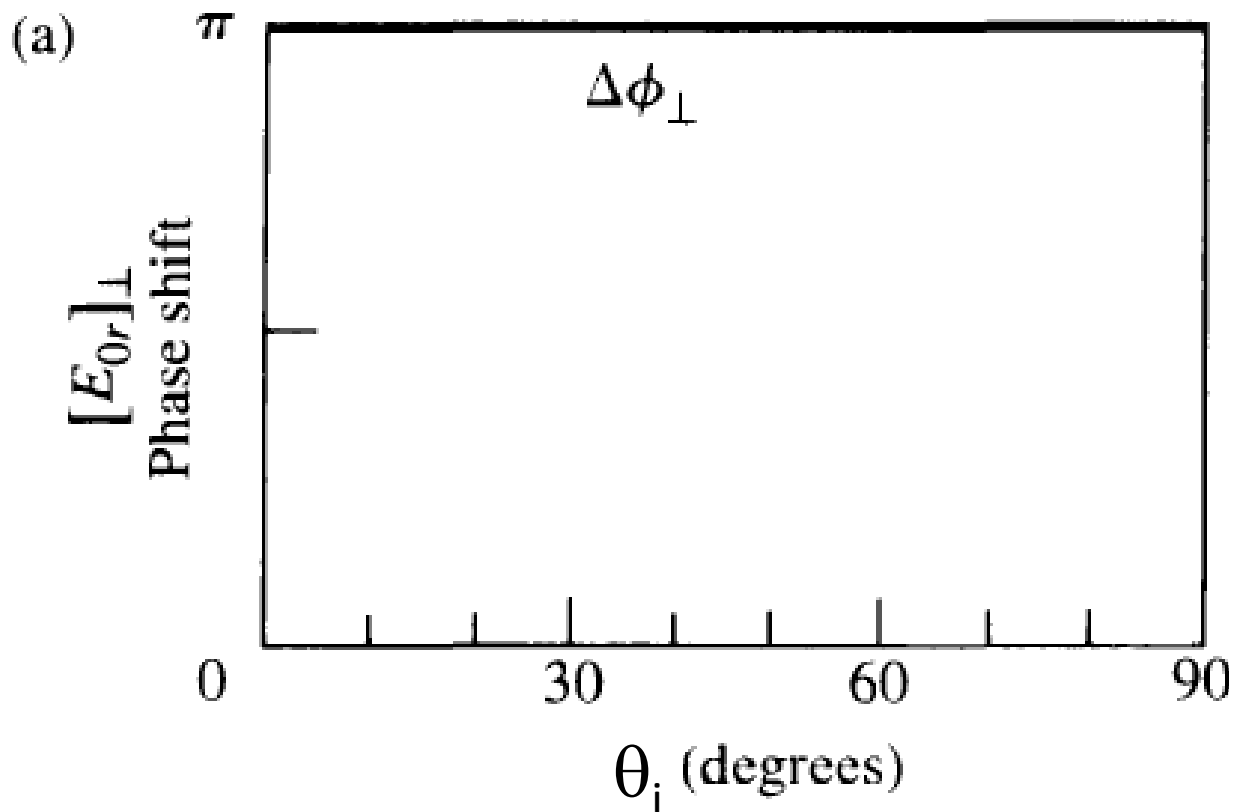
Riflessione Rifrazione

- shift di fase

$$n_i=1$$

$$n_t=1.5$$

Riflessione esterna



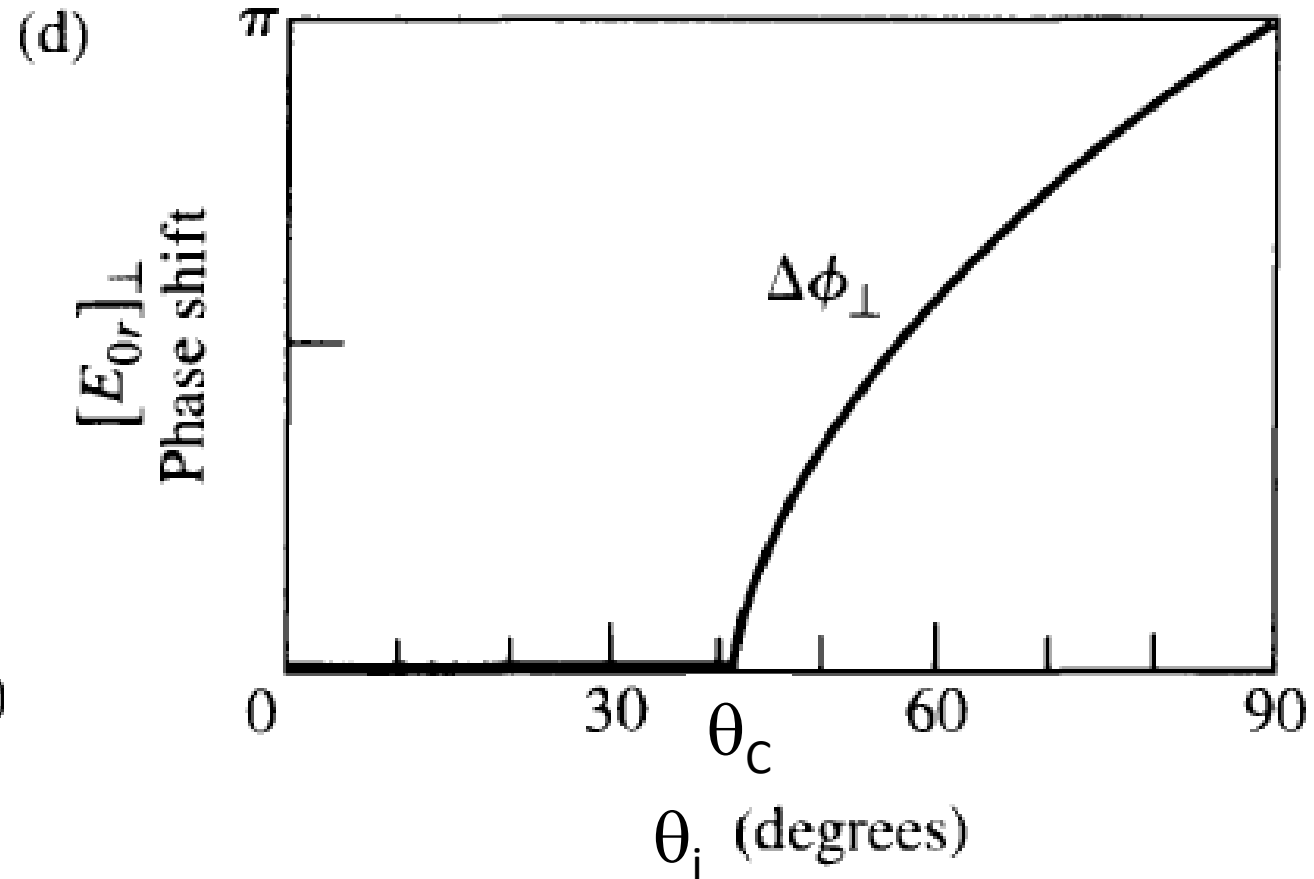
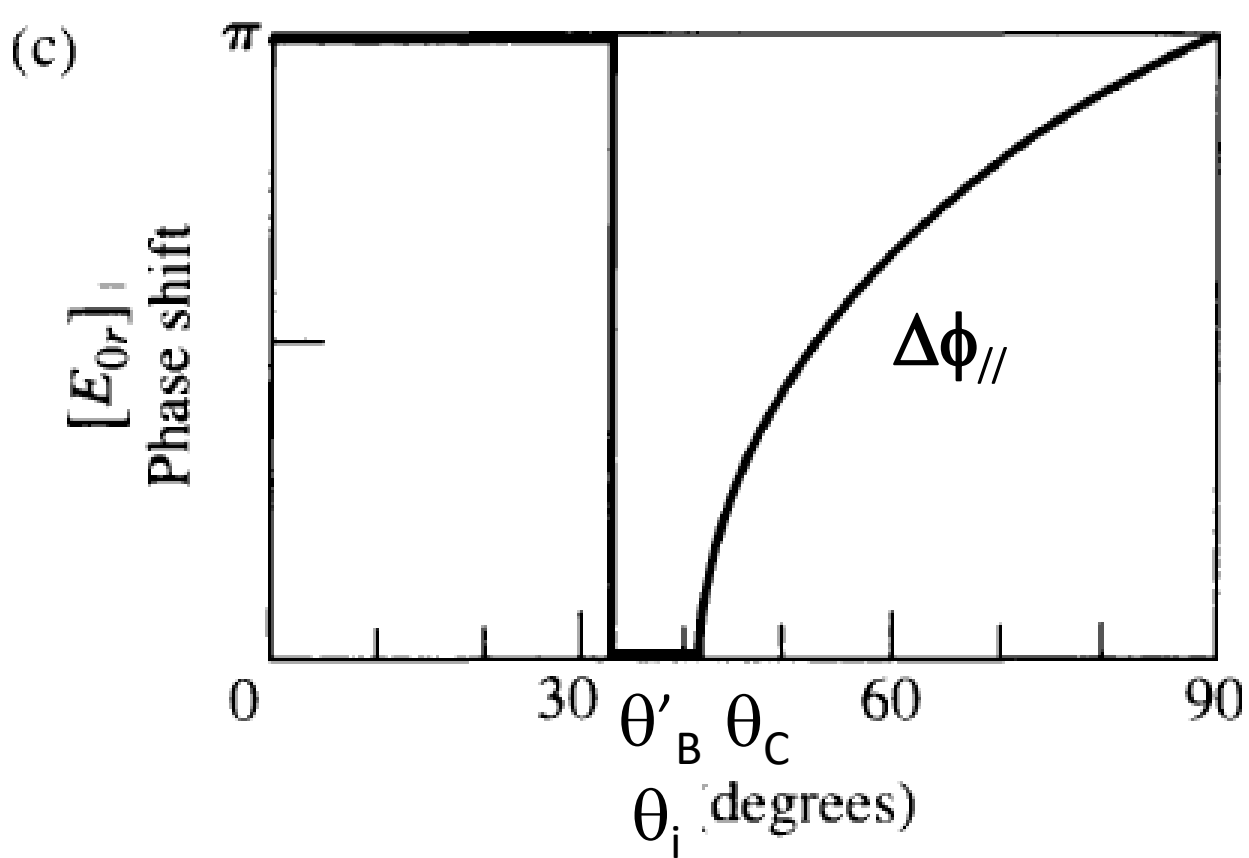
Riflessione Rifrazione

- shift di fase

$$n_i = 1.5$$

$$n_t = 1$$

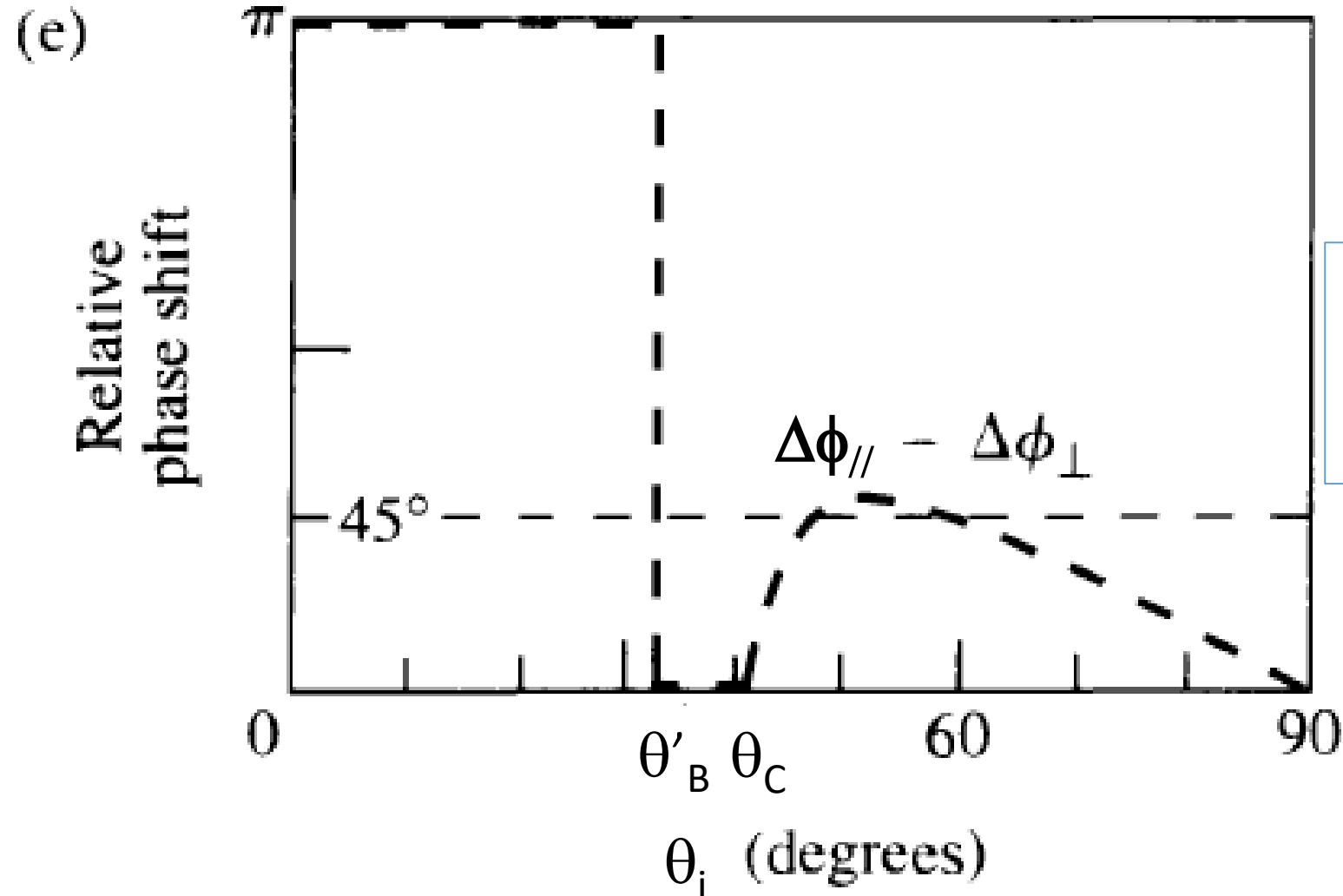
Riflessione interna



Riflessione Rifrazione

- shift di fase

Riflessione interna

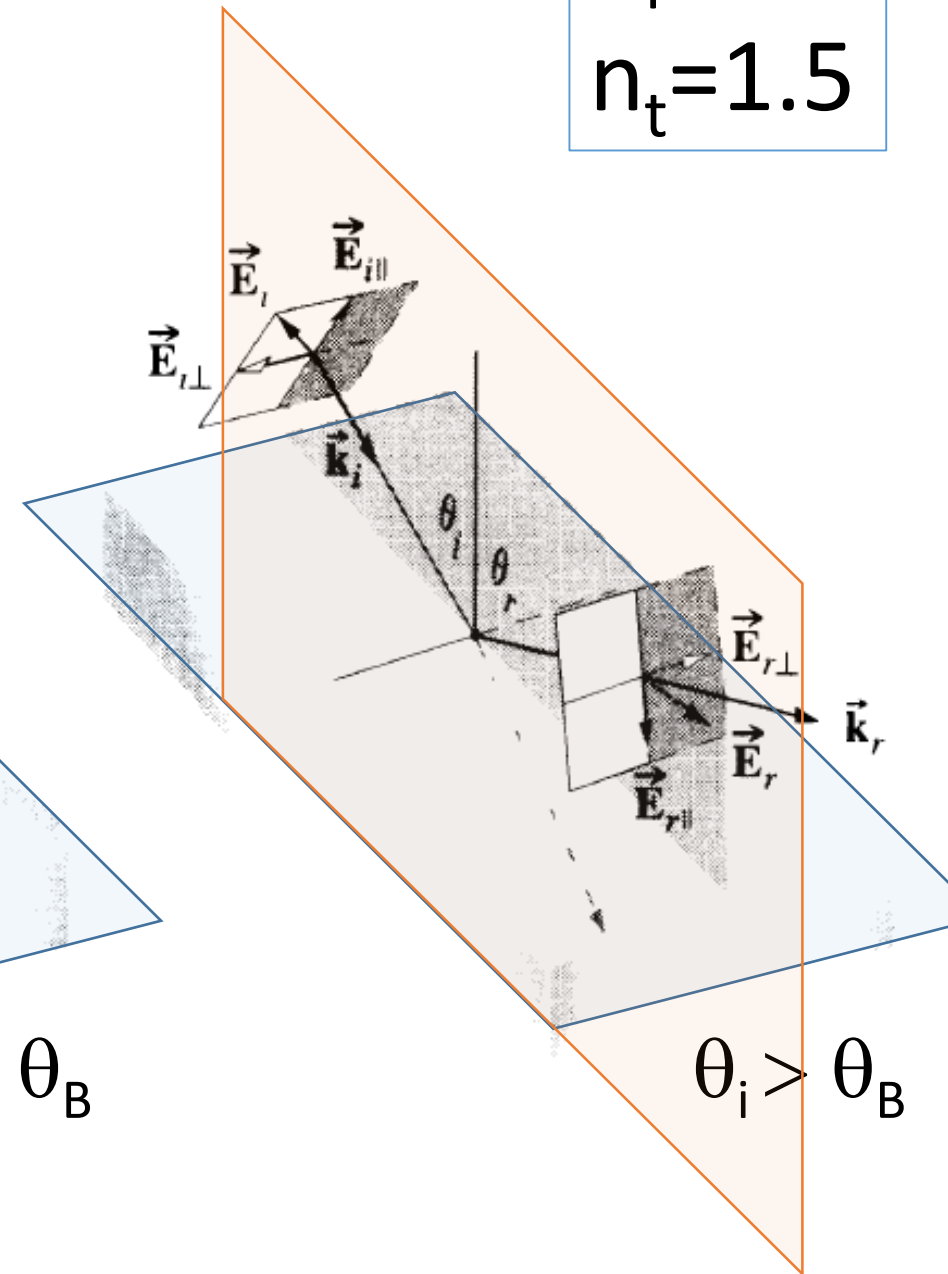
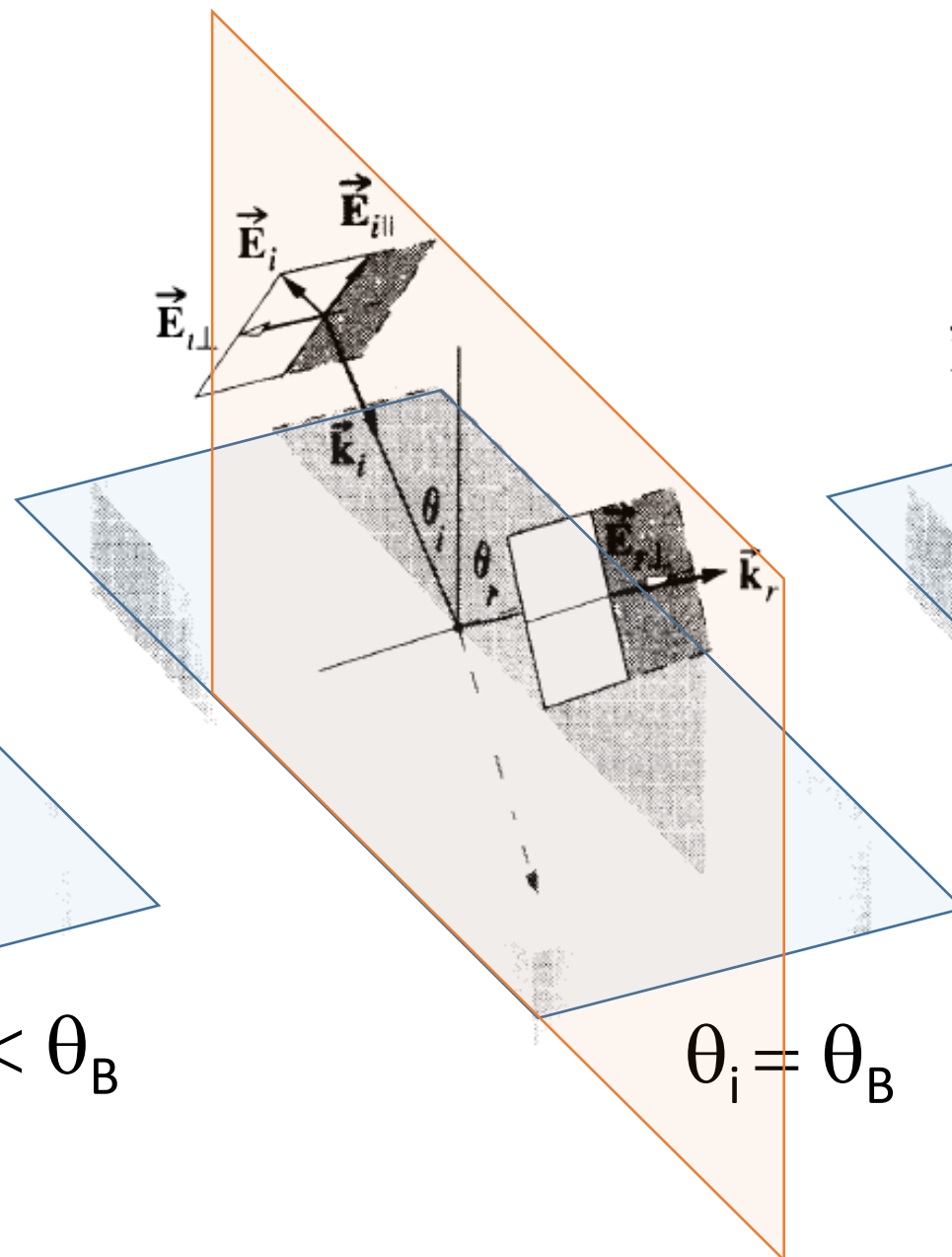
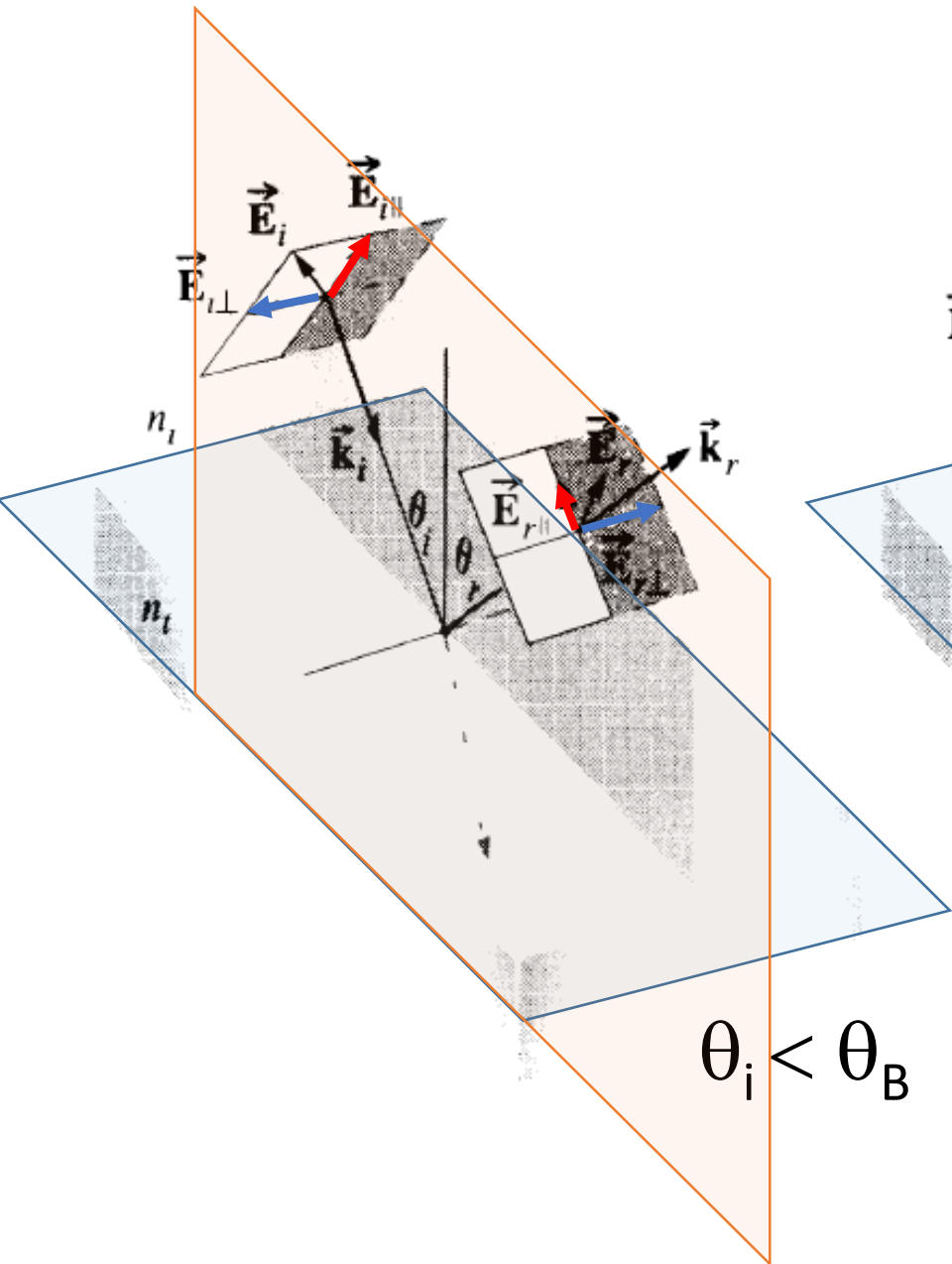


$n_i=1.5$
 $n_t=1$

Riflessione Rifrazione

Riflessione esterna

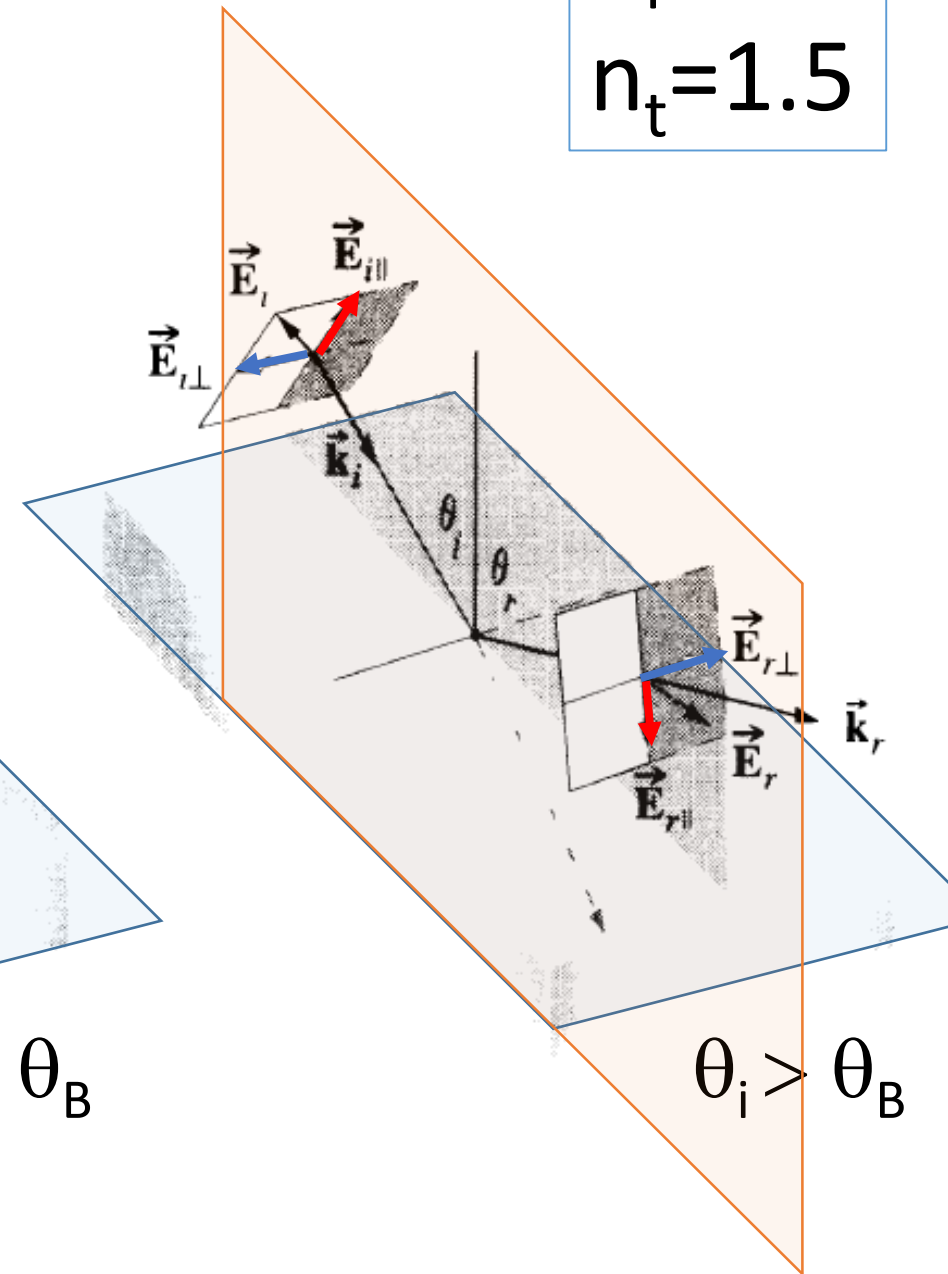
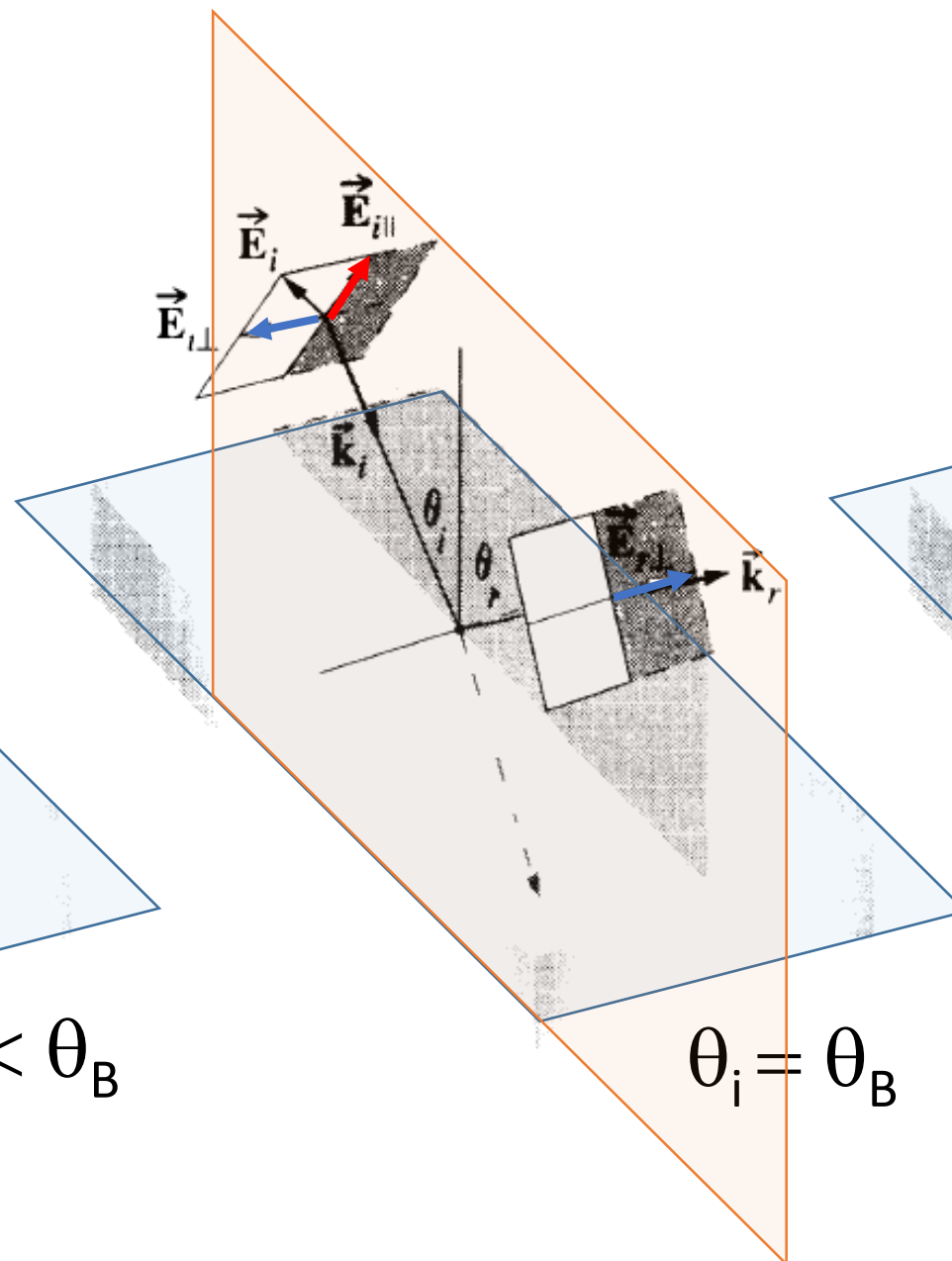
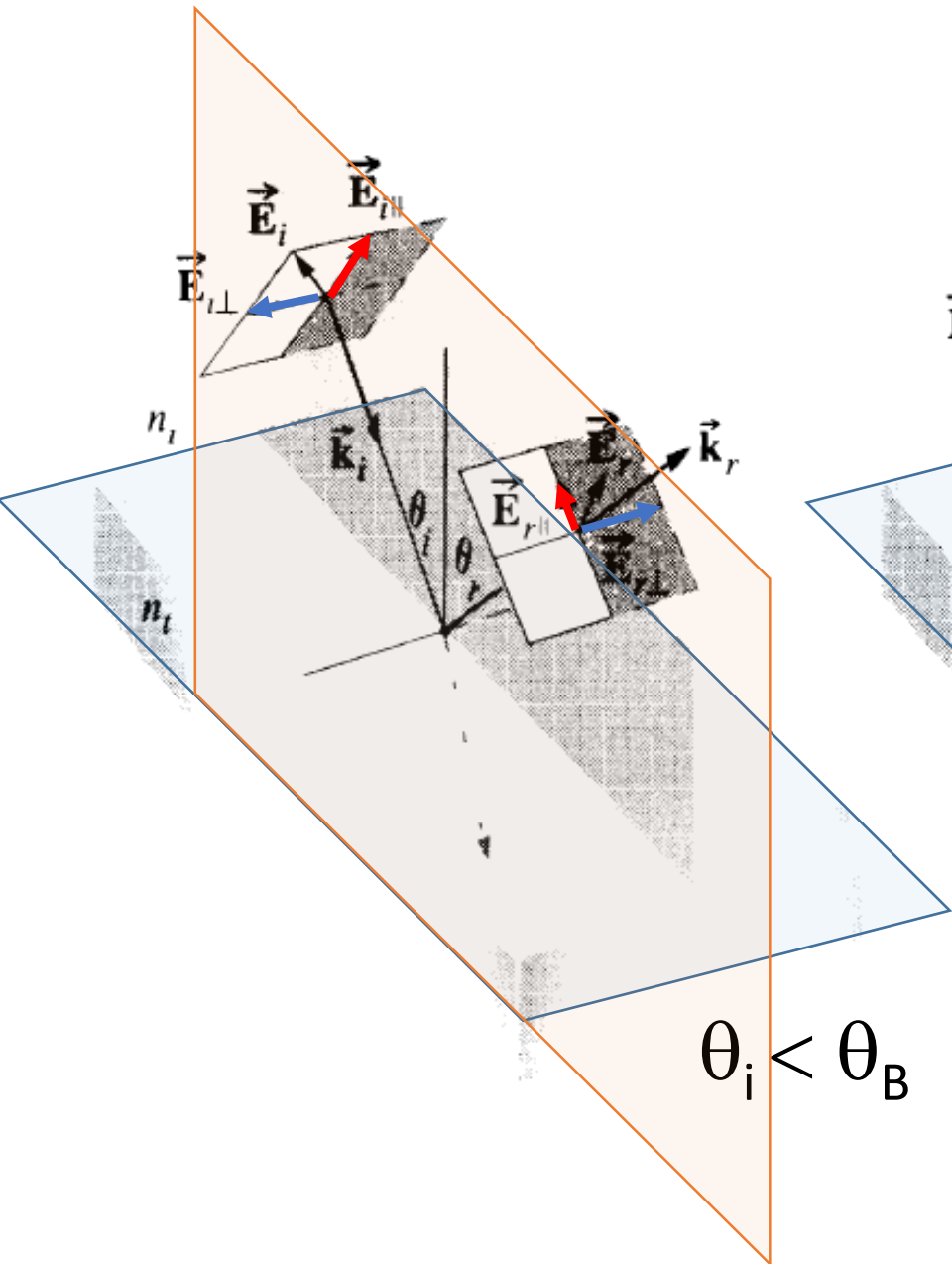
$$n_i=1$$
$$n_t=1.5$$



Riflessione Rifrazione

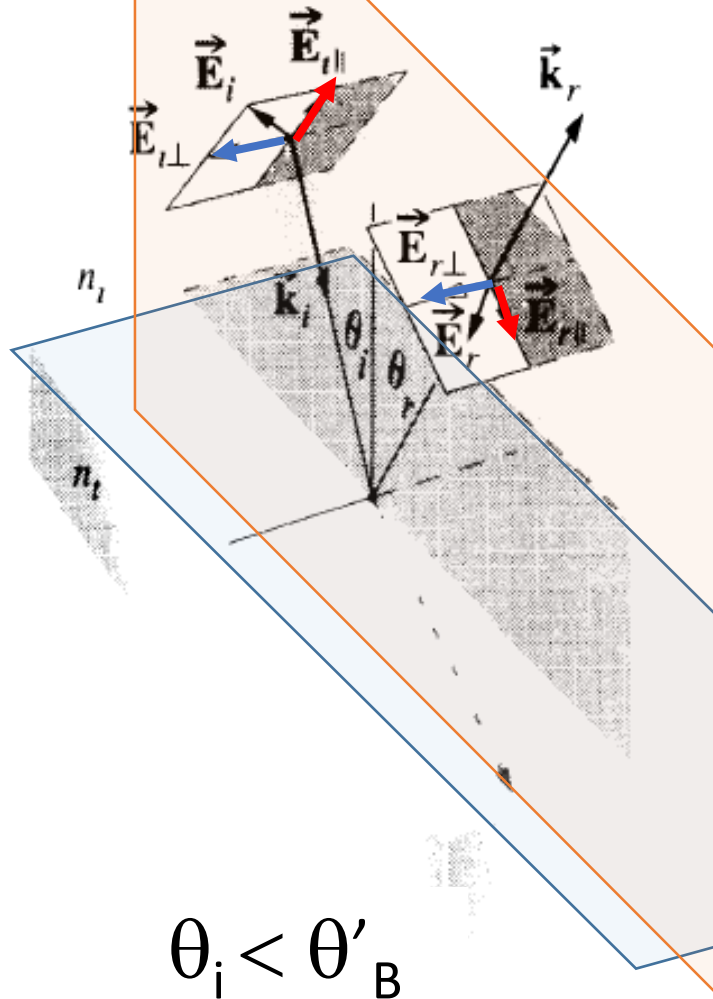
Riflessione esterna

$$n_i=1$$
$$n_t=1.5$$

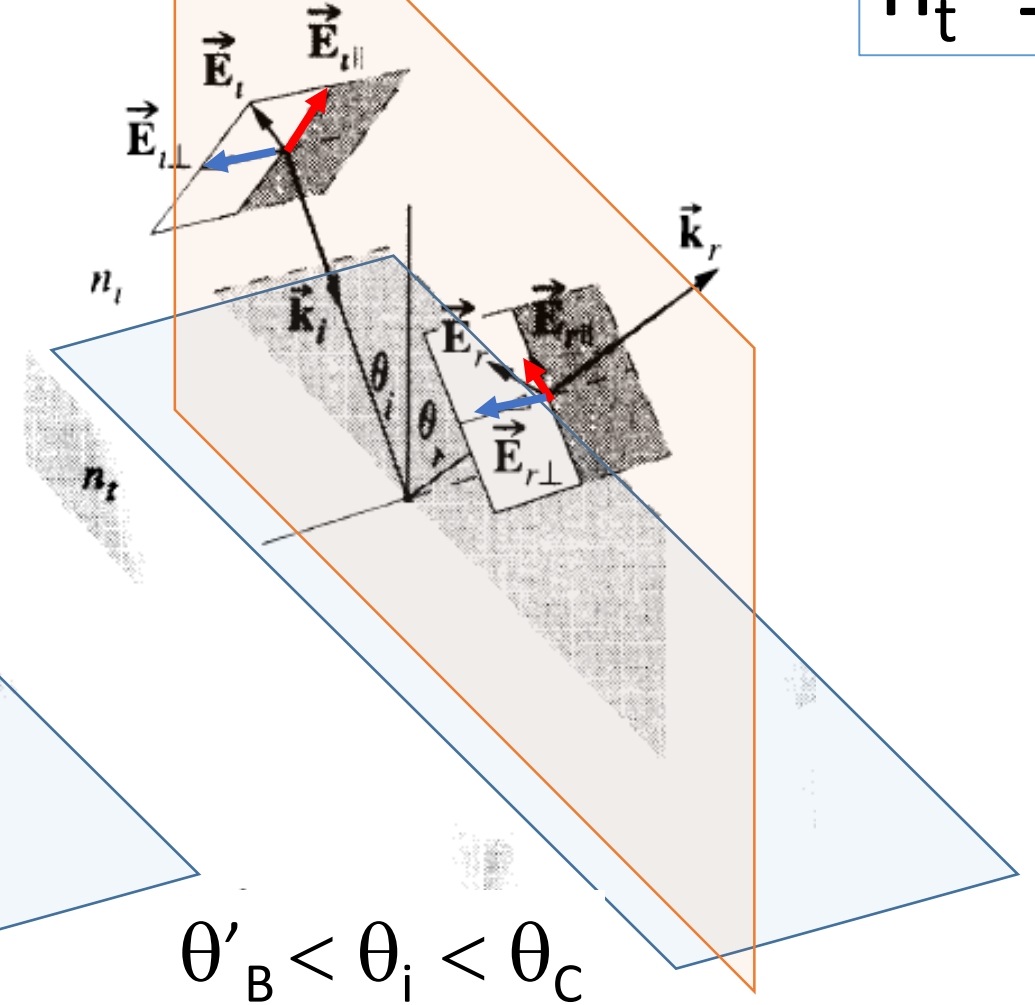


Riflessione Rifrazione

(a)



(b)



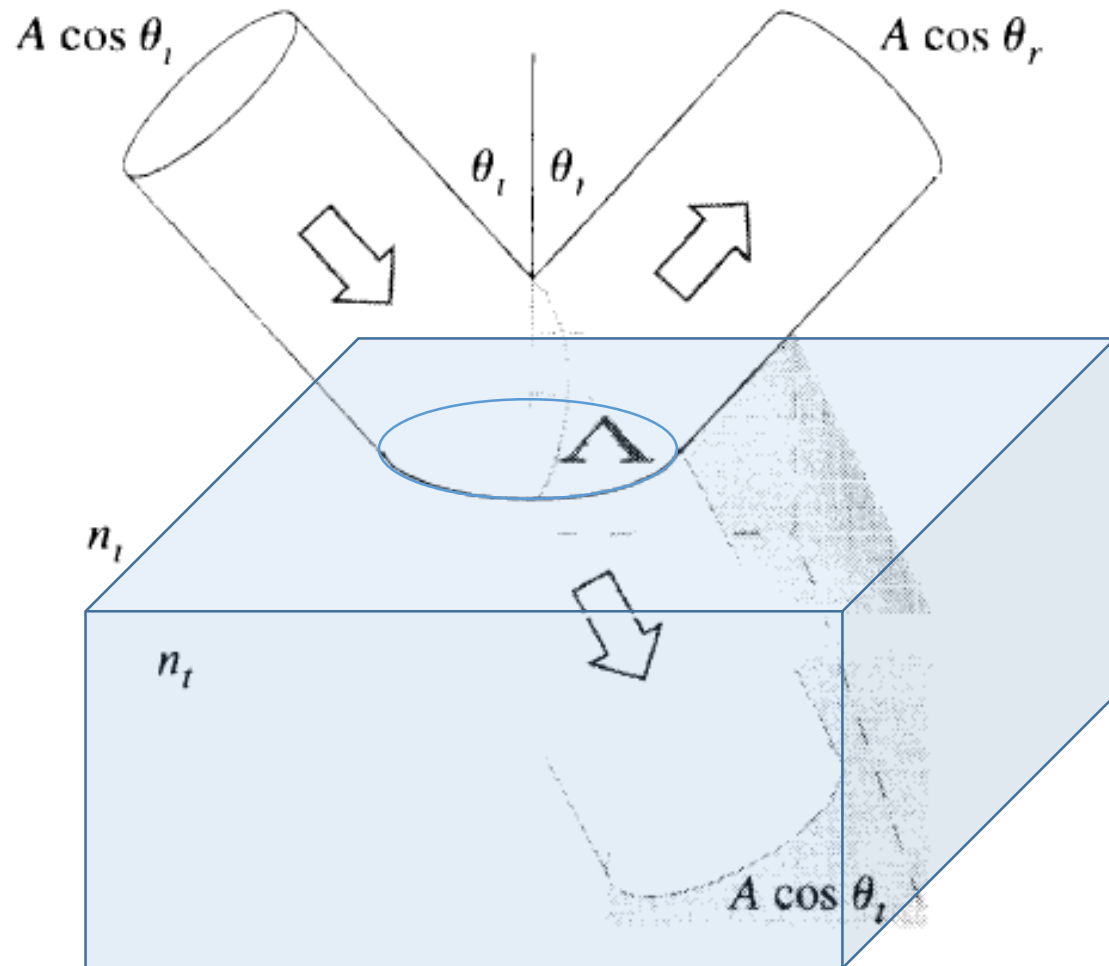
Riflessione interna

$$n_i = 1.5$$

$$n_t = 1$$

Riflessione Rifrazione

- Riflettanza e Trasmittanza



$$R_{\perp} = r_{\perp}^2$$

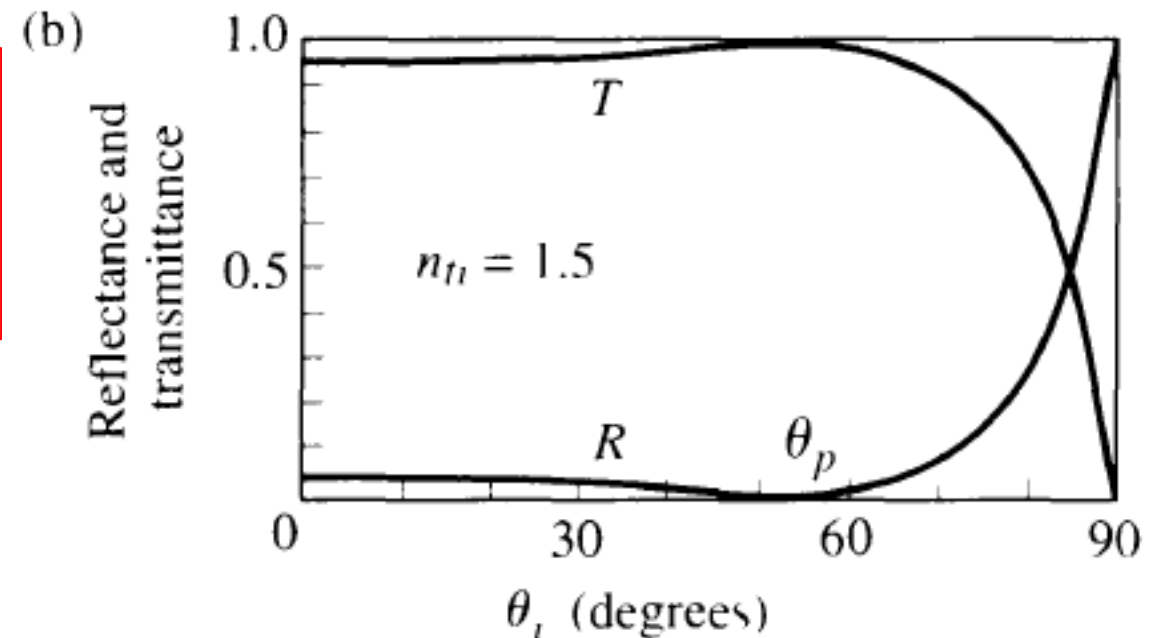
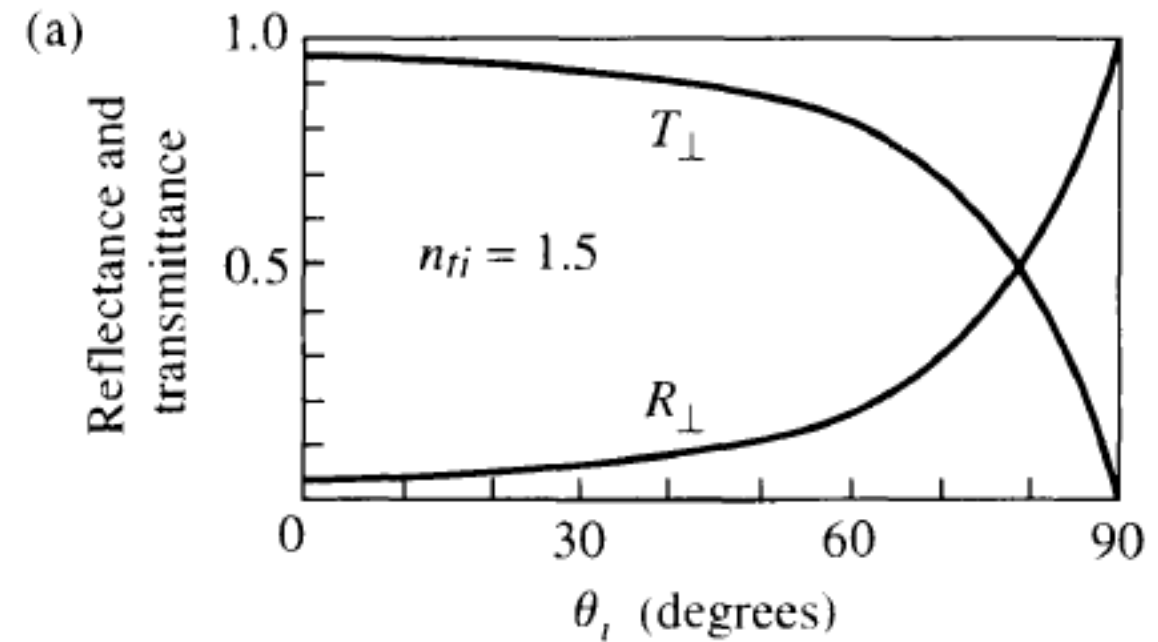
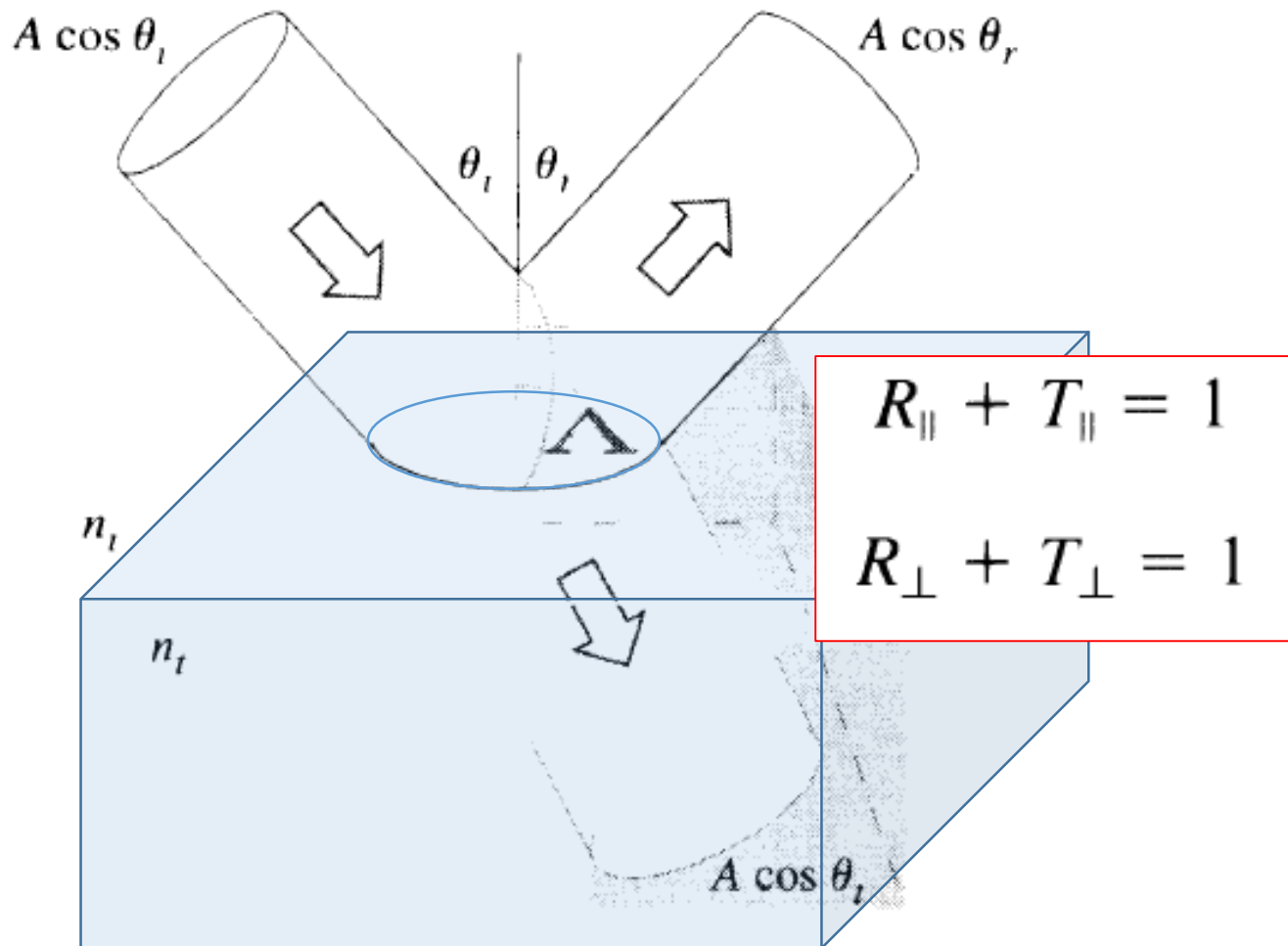
$$R_{\parallel} = r_{\parallel}^2$$

$$T_{\perp} = \left(\frac{n_t \cos \theta_t}{n_i \cos \theta_i} \right) t_{\perp}^2$$

$$T_{\parallel} = \left(\frac{n_t \cos \theta_t}{n_i \cos \theta_i} \right) t_{\parallel}^2$$

Riflessione Rifrazione

- Riflettanza e Trasmittanza

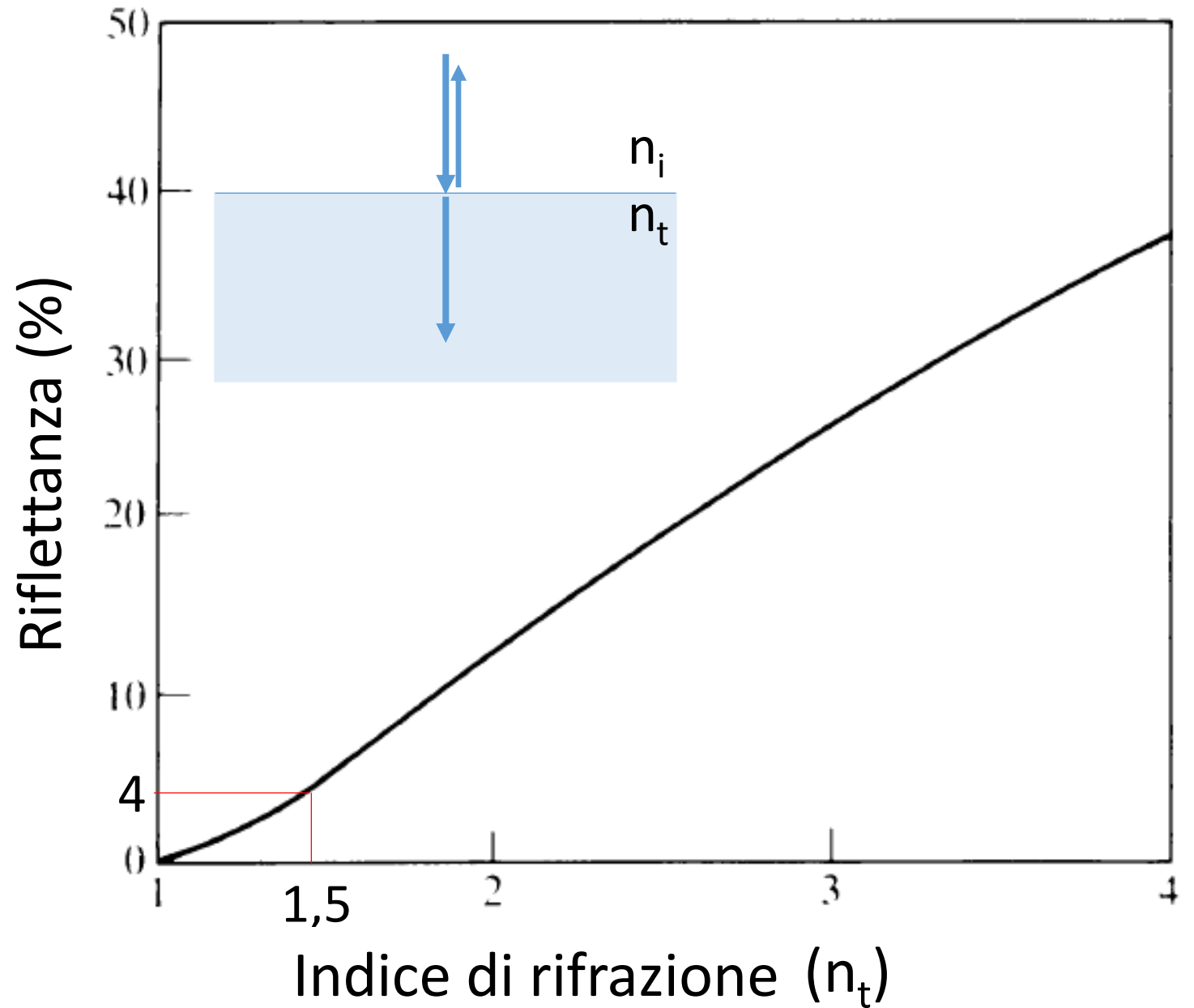


Riflessione Rifrazione

- riflettanza ad incidenza normale ($n_i=1$)

$$R = R_{\parallel} = R_{\perp} = \left(\frac{n_t - n_i}{n_t + n_i} \right)^2$$

$$T = T_{\parallel} = T_{\perp} = \frac{4n_t n_i}{(n_t + n_i)^2}$$

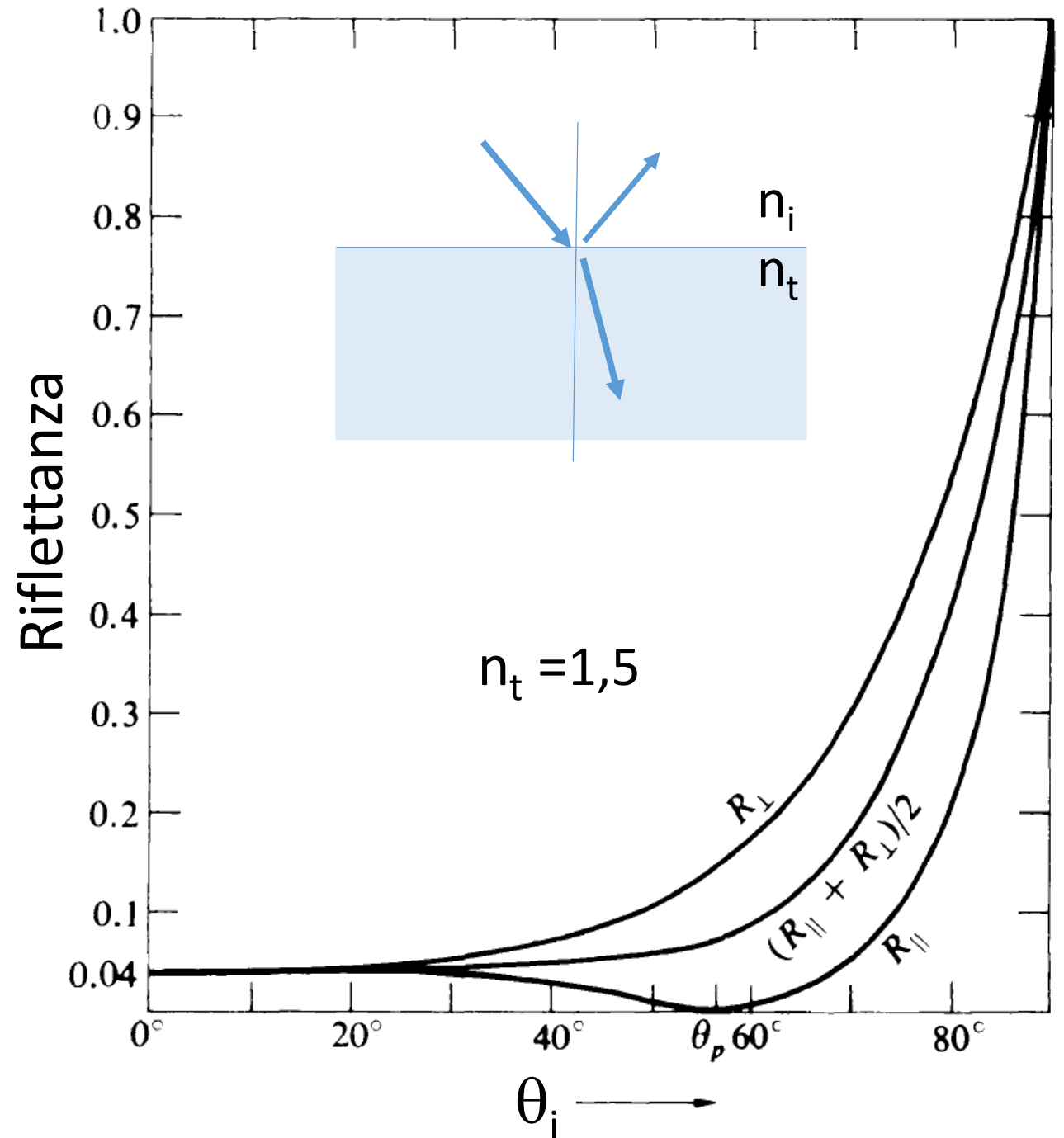


Riflessione Rifrazione

- riflettanza ($n_i=1$)

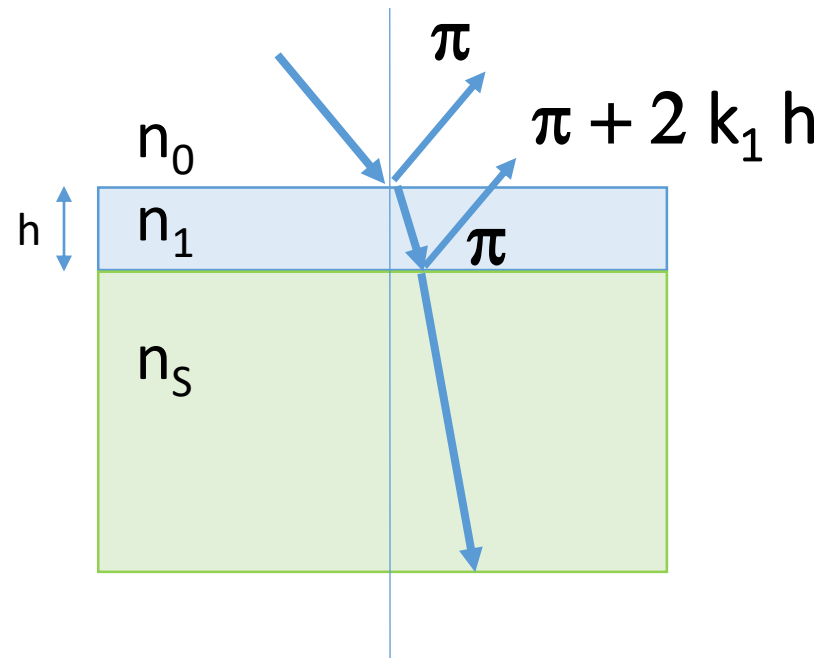
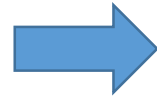
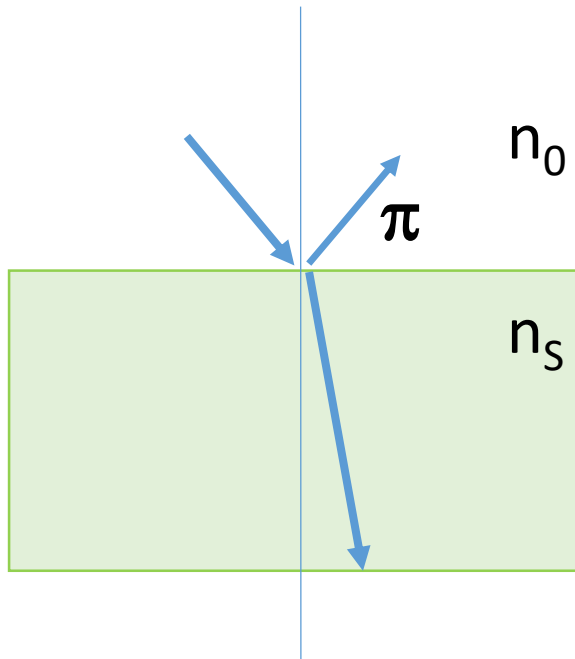
$$R_{\parallel} = \frac{\tan^2(\theta_i - \theta_t)}{\tan^2(\theta_i + \theta_t)}$$

$$R_{\perp} = \frac{\sin^2(\theta_i - \theta_t)}{\sin^2(\theta_i + \theta_t)}$$



Trattamenti AR

Incidenza quasi normale
E ortogonale



- Doppio strato $n_0 < n_1 < n_s$

- Interferenza distruttiva per :
 $\delta = 2 k_1 h = (2m+1) \pi \longrightarrow h = \lambda_0 / 4 (2m + 1)$

Trattamenti AR

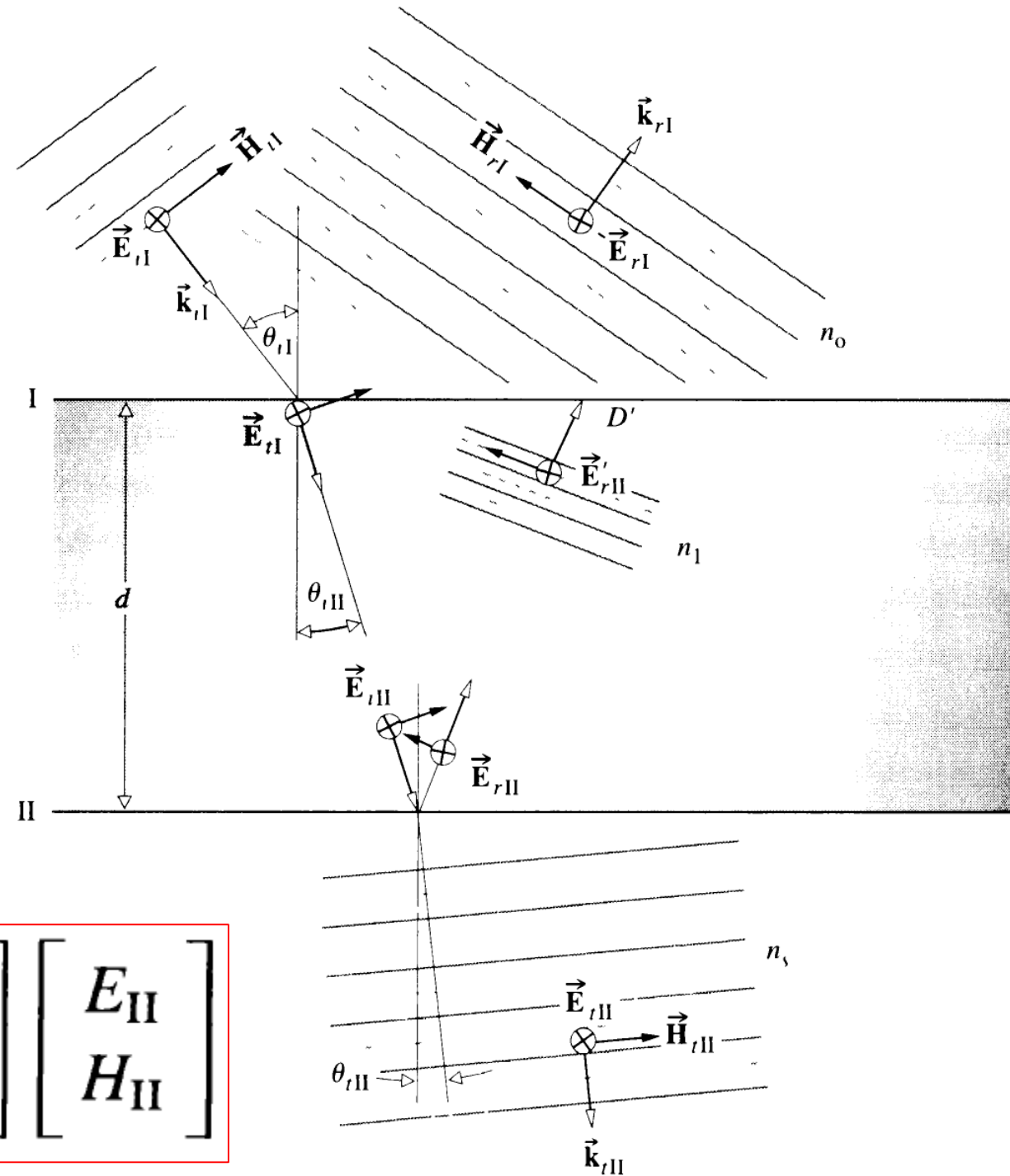
E ortogonale

$$E_I = E_{iI} + E_{rI} = E_{tI} + E'_{rII}$$

$$E_{II} = E_{iII} + E_{rII} = E_{tII}$$

$$Y_1 \equiv \sqrt{\frac{\epsilon_0}{\mu_0}} n_1 / \cos \theta_{iII}$$

$$\begin{bmatrix} E_I \\ H_I \end{bmatrix} = \begin{bmatrix} \cos k_0 h & (i \sin k_0 h) / Y_1 \\ Y_1 i \sin k_0 h & \cos k_0 h \end{bmatrix} \begin{bmatrix} E_{II} \\ H_{II} \end{bmatrix}$$



Trattamenti AR

E ortogonale

$$R_1 = \frac{n_1^2(n_0 - n_s)^2 \cos^2 k_0 h + (n_0 n_s - n_1^2)^2 \sin^2 k_0 h}{n_1^2(n_0 + n_s)^2 \cos^2 k_0 h + (n_0 n_s + n_1^2)^2 \sin^2 k_0 h}$$

Per $k_0 h = \frac{1}{2}\pi$

$$R_1 = \frac{(n_0 n_s - n_1^2)^2}{(n_0 n_s + n_1^2)^2}$$

$$n_1^2 = n_0 n_s$$

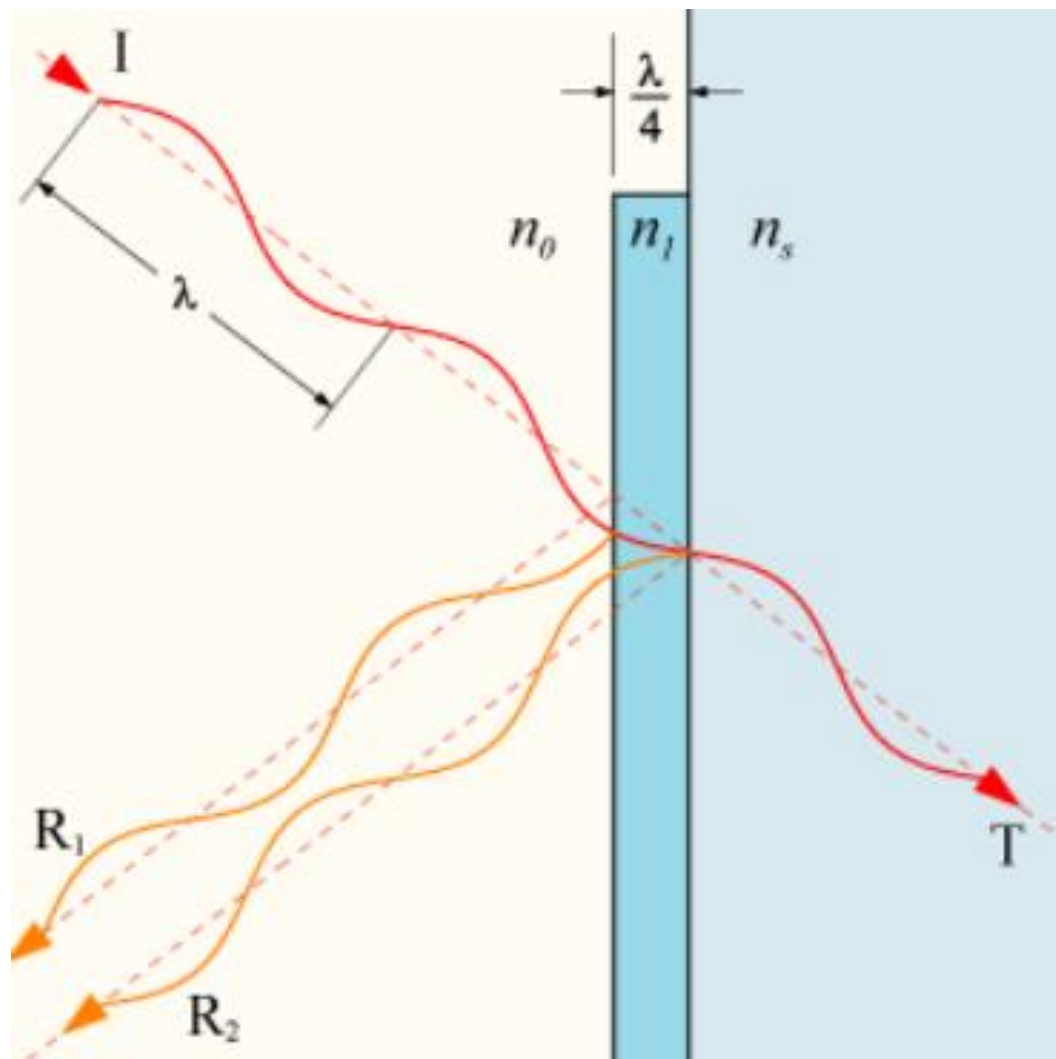
$$\begin{array}{l} \text{MgF}_2 \\ n = 1.38 \end{array}$$

Trattamenti AR

TABLE 4A.1 Thin-Film Materials

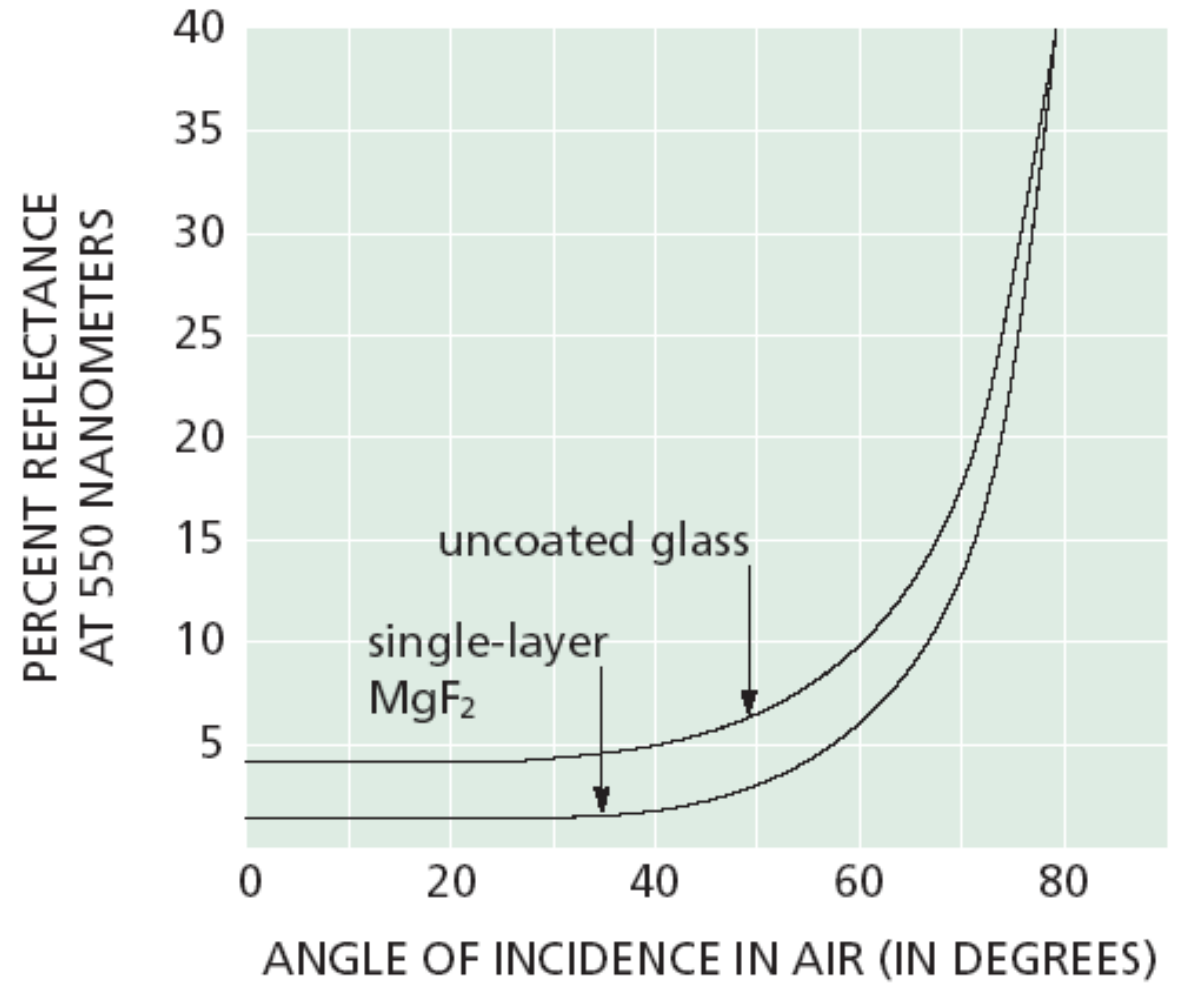
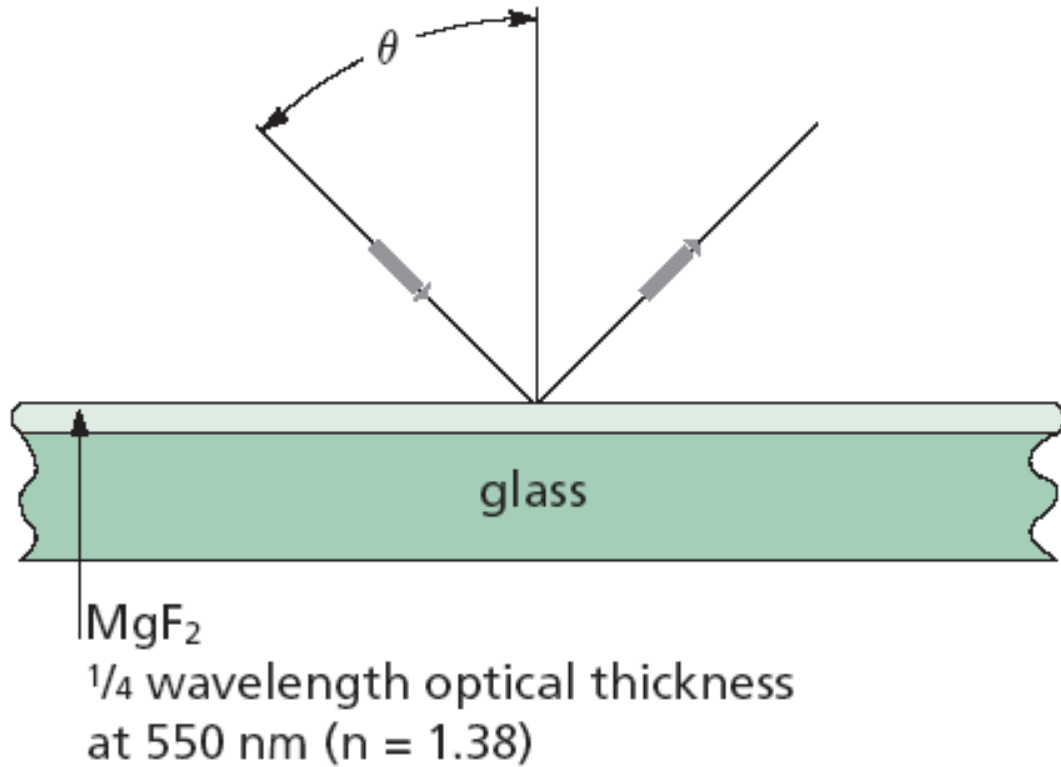
Material	Index of Refraction	Wavelength Range, μm
Cryolite(Na_3AlF_6)	1.35	0.15–14
Magnesium fluoride (MgF_2)	1.38	0.12–8
Silicon dioxide (SiO_2)	1.46	0.17–8
Thorium fluoride (ThF_4)	1.52	0.15–13
Aluminum oxide (Al_2O_3)	1.62	0.15–6
Silicon monoxide (SiO)	1.9	0.5–8
Zirconium dioxide (ZrO_2)	2.00	0.3–7
Cerium dioxide (CeO_2)	2.2	0.4–16
Titanium dioxide (TiO_2)	2.3	0.4–12
Zinc sulfide (ZnS)	2.3	0.4–12
Zinc selenide (ZnSe)	2.44	0.5–20
Cadmium telluride (CdTe)	2.69	1.0–30
Silicon (Si)	3.5	1.1–10
Germanium (Ge)	4.05	1.5–20
Lead telluride (PbTe)	5.1	3.9–20 +

Trattamenti AR



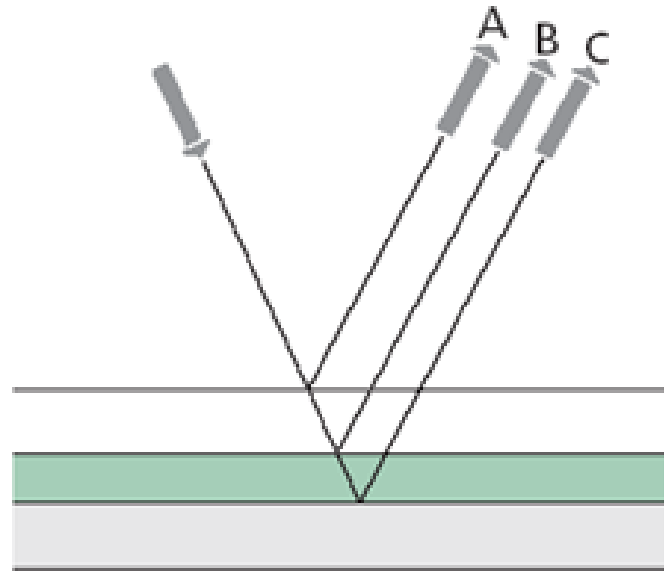
Trattamenti AR

θ = angle of incidence



Trattamenti AR

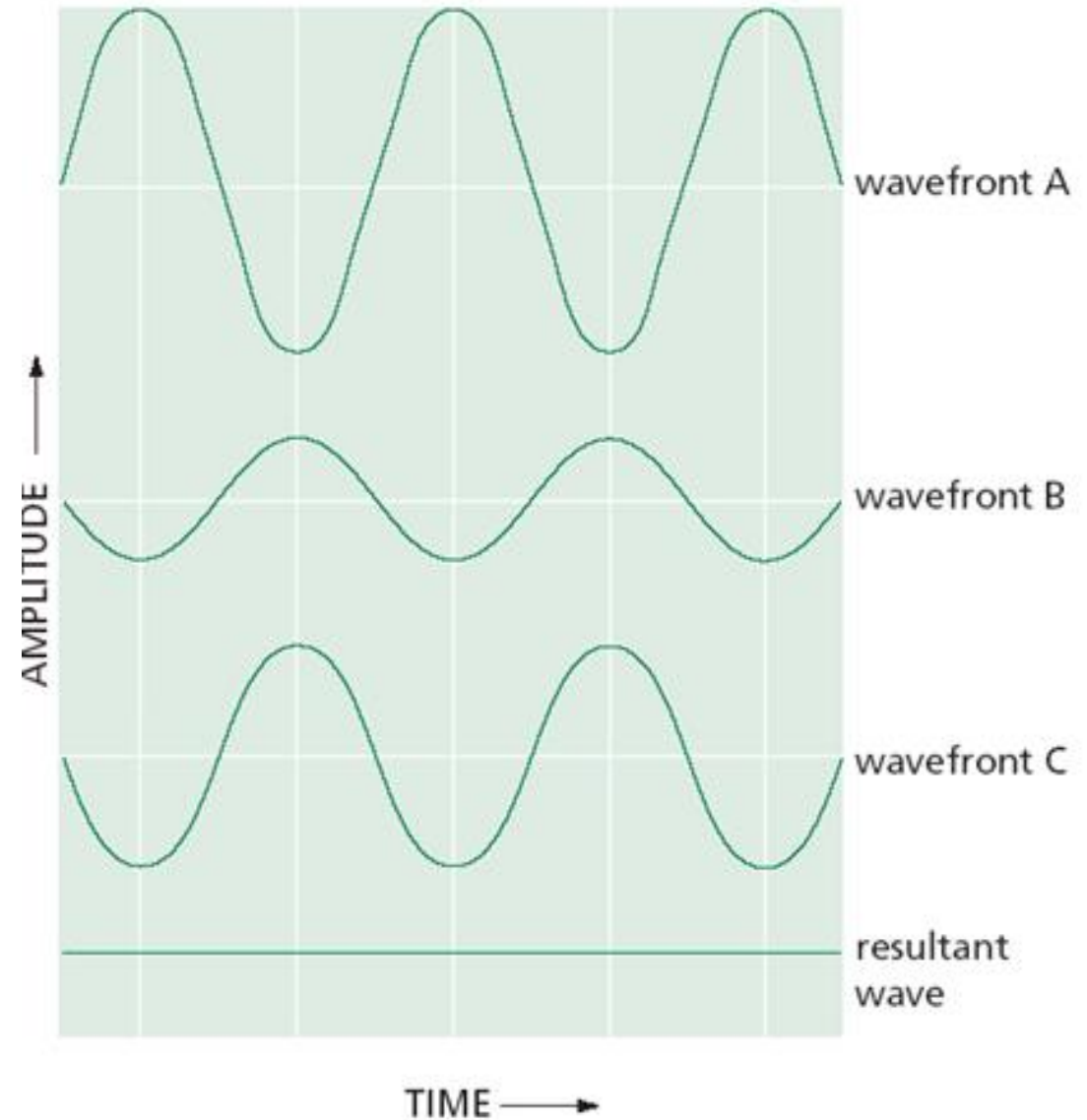
Trattamenti multistrato



air ($n_0 = 1.0$)
low-index layer ($n_1 = 1.38$)
high-index layer ($n_2 = 1.70$)
substrate ($n_3 = 1.52$)

$$\mathcal{M} = \mathcal{M}_I \mathcal{M}_{II}$$

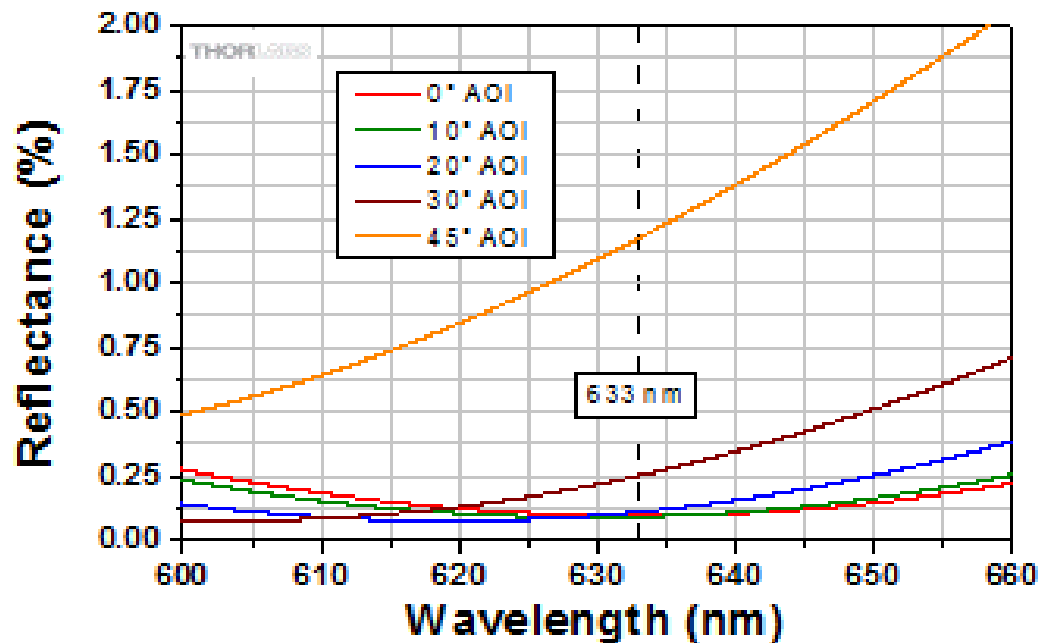
$$R_2 = \left[\frac{n_2^2 n_0 - n_s n_1^2}{n_2^2 n_0 + n_s n_1^2} \right]^2 \rightarrow \left(\frac{n_2}{n_1} \right)^2 = \frac{n_s}{n_0}$$



Trattamenti AR

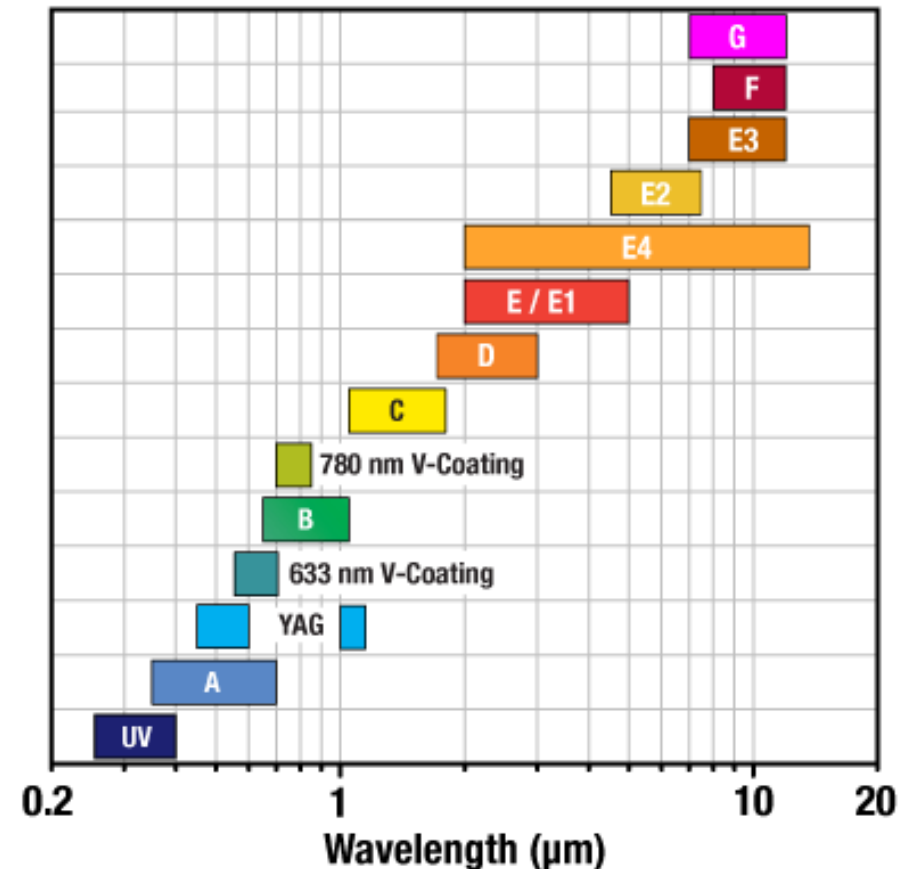
- V- Coating $R < 0.25\%$ $\Delta\lambda \sim 10 \text{ nm}$
- Broadband Coating $R < 1-3\%$ $\Delta\lambda > 300 \text{ nm}$

633 nm V-Coat Angle of Incidence Dependence



- **Attenzione all'angolo di incidenza ed alla polarizzazione!**

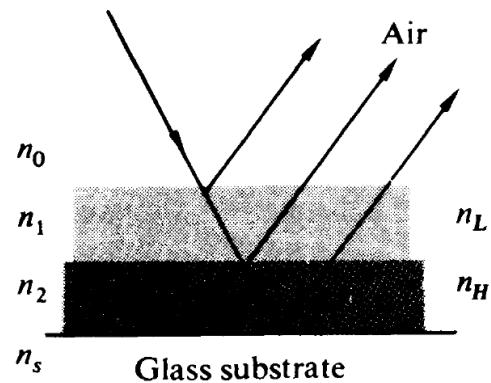
AR Coating Range



Trattamenti HR

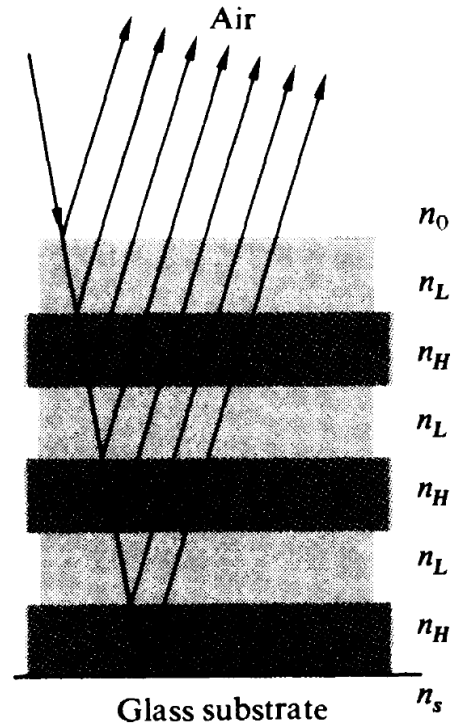
$$R = \frac{(1 - p)}{(1 + p)}$$

$$p = \left(\frac{n_H}{n_L} \right)^{N-1} \times \frac{n_H^2}{n_S}$$



$gHL a$

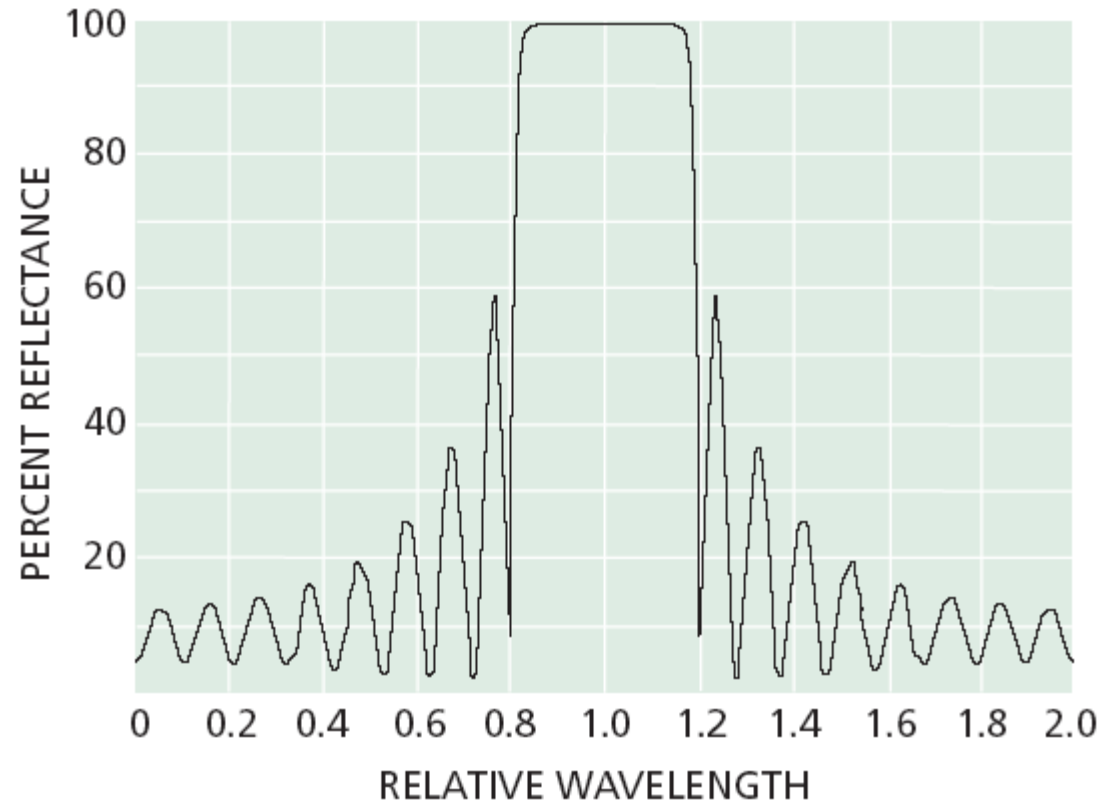
Double-quarter



$gHLHLHL a$

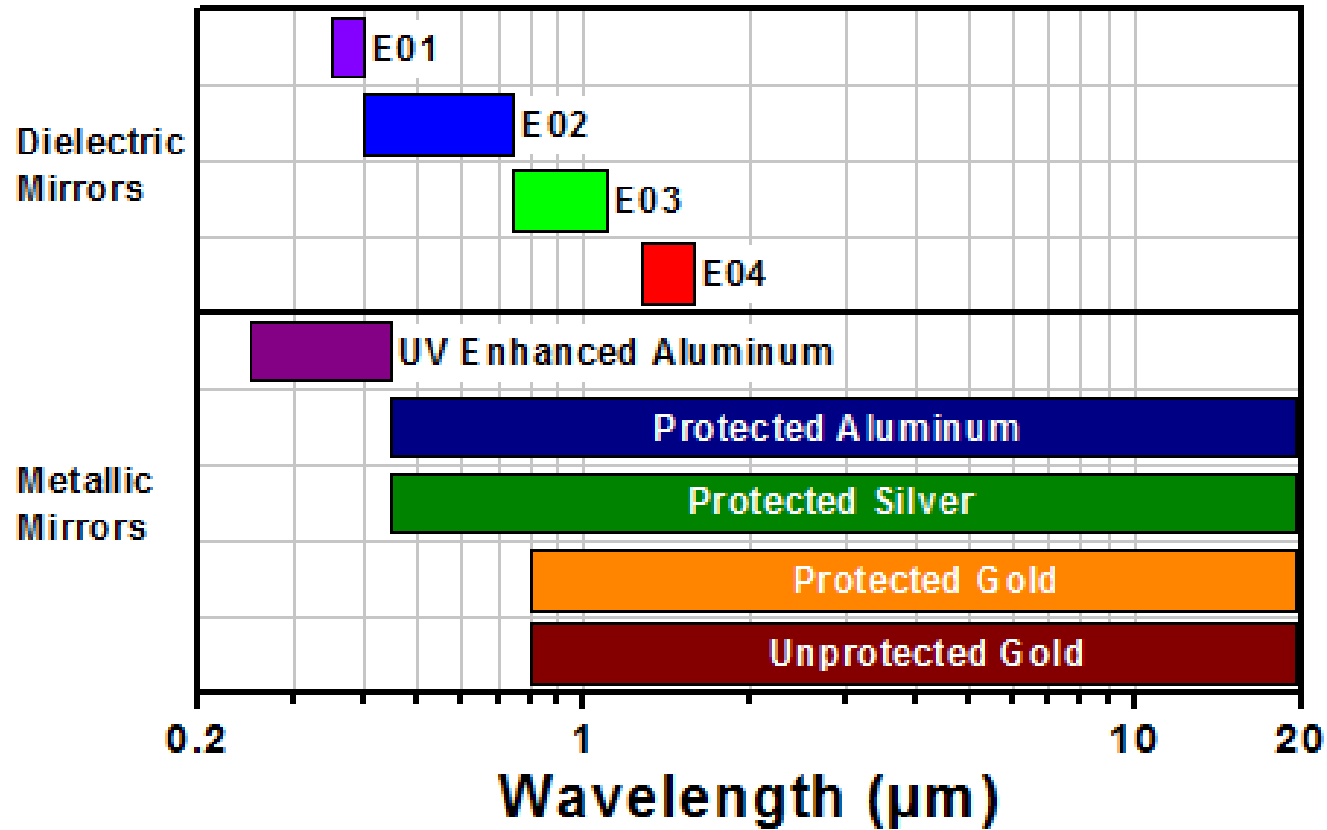
$g(HL)^3 a$

Quarter-wave stack



Trattamenti HR

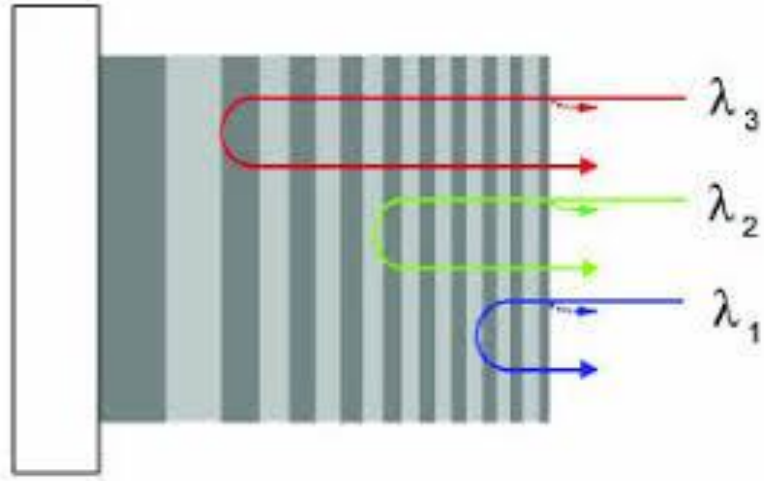
Broadband HR Coating Ranges



R > 99%

R > 90% - 95%

Specchi «Chirped»



- Servono per compensare la dispersione e/o comprimere un impulso

- Laser a femtosecondi

